

REFERÊNCIAS BIBLIOGRÁFICAS

ABNT – **Associação Brasileira de Normas Técnicas**. NBR's 7181/1984, 6459/1984, 7180/1984, 6508/1984, 6457/1986, 2887/1988, 3336/1990.

ADRIANO, M.H. **Comunicação pessoal**, 2006

ALMEIDA, M.S.S, **Aterros Sobre Solos Moles: Da Concepção à Avaliação de Desempenho**, UFRJ, 1996

ALMEIDA, M.S.S, & MARQUES, M.E.S., **The Behavior of Sarapui Soft Organic Clay**, International Workshop on Characterization and Engineering Properties of Natural Soils, Singapore, 2002

ALSHAWABKEH, A. N., **Basic and Applications of Eletrokinetics Remediation**, Handouts prepared for a short course, Federal University of Rio de Janeiro, Rio de Janeiro, 2001.

ANTUNES, F. S., **Ensaio Geológicos, Pedológicos e Mineralógicos nas Argilas Moles do Rio de Janeiro**, Relatório IPR/DNER, Rio de Janeiro, 1978

ARAGÃO, C.J.C, **Propriedades Geotécnicas de Alguns Depósitos de Argila Mole da Área do Grande Rio**, Dissertação de Mestrado, Departamento de Engenharia Civil, PUC-Rio, Rio de Janeiro, 1975.

ATKINSON, J.H.& Bransby, P.L., **The Mechanics of Soils – An Introduction to Critical State Soil Mechanics**, McGraw-Hill University Series in Civil Engineering, 1978

BELLO, L.A., ROCHA FILHO, P., de CAMPOS, T.M.P. & NETO, A.J.S. **Emprego de Eletrodois no Monitoramento de Estruturas de Subestação Elétrica Construída sobre Depósito de Argila Mole**, COBRAMSEG, Curitiba, 2006a, Vol 1, p.501-506.

BELLO, L.A., ROCHA FILHO, P., de CAMPOS, T.M.P. & NETO, A.J.S. **Resistência Não Drenada de um Depósito de Argila Mole Através de Ensaio Pressiométrico Cravado**, COBRAMSEG, Curitiba, 2006b, Vol 2, p.733-738.

BJERRUM, L., **Problems of Soil Mechanics and Construction on Softy Clays**, State of the Art Report, 8th ICSMFE, Moscow, 1973, Vol.3, p.109-159.

BISHOP, A. W. e HENKEL, D.J. **The Measurement of Soil Properties in the Triaxial Test**. 2nd ed. - London : E. Arnold, 1962. 227p.

BOGOSSIAN, F. & LIMA, S.A., **Sobre os Limites de Consistência das Argilas Orgânicas**, 5^o Congresso Brasileiro de Mecânica dos Solos e Engenharia de Fundações, São Paulo, 1974, Vol. II, p.293-299.

BURLAND, J.B. **On the compressibility and shear strength of natural clays**. *Géotechnique* 40 (3), 329-378, 1990.

CARVALHO, J. **Estudo da Compressão Secundária em Depósito de Argila Mole de Itaipu**, Dissertação de Mestrado, Departamento de Engenharia Civil, PUC-Rio, Rio de Janeiro, 1980

CASAGRANDE, A., **The Determination of the Preconsolidation Load and Its Practical Significance**, Proceedins First International Conference on Soil Mechanics and Foundation Engineering, Cambridge, Massachusetts, 1936, Vol. 3, p.60-64.

CORREIA, M.H.C & LACERDA, W.A., **Contribuição ao Estudo do Coeficiente de Compressibilidade Volumétrica**. Solos e Rochas, Revista Brasileira de Geotecnia, 1982, Vol.5, n^o1, p.17-26.

COSTA FILHO, L.M., ARAGÃO, C.J.G & VELLOSO, P.P.C, **Características Geotécnicas de Alguns Depósitos de Argila Mole na Área do Grande Rio**, Solos e Rochas, Revista Brasileira de Geotecnia, 1984, Vol.8, n^o1, p.3-11.

COUTINHO, R. Q. **Características de Adensamento com Drenagem Radial de uma Argila Mole da Baixada Fluminense**. Dissertação de Mestrado, COPPE/UFRJ, Rio de Janeiro, 1976, 206p.

COUTINHO, R.Q. & LACERDA, W.A., **Characterization/ Consolidation of Juturnaiba Organic Clays**, Solos e Rochas, Revista Brasileira de Geotecnia, 1994, Vol.17, nº2, p.145-154.

COUTINHO, R.Q., Oliveira, J.T.R & Oliveira, A.T.J., **Estudo Quantitativo da Qualidade de Amostras das Argilas Moles Brasileiras**, XI CBMSFE, p. 927-936, 1998.

CUNHA, R.P. **Análise de Ruptura de um Aterro Sanitário Sobre a Argila Mole do Caju**. Dissertação de Mestrado, COPPE/UFRJ,1988

DE CAMPOS, T.M.P., ROCHA FILHO, P. & BELLO, L.A.L, **Investigações Preliminares**. Relatório Parcial de Atividades RT-01, Projeto P&D LIGHT/ANEEL. 32p, 2004

DE CAMPOS, T.M.P., ROCHA FILHO, P. & BELLO, L.A.L, **Ensaio de Piezocone e Dissipação de Poropressão (CPTU)**. Relatório Parcial de Atividades RT-04, Projeto P&D LIGHT/ANEEL. 33p, 2005

FERREIRA, S. R. M & COUTINHO, R. Q., **Quantificação do Efeito do Amolgamento nas Características de Compressibilidade de Argila Mole, Rio de Janeiro e Recife.**, Simpósio Sobre Depósitos Quaternários das Baixadas Litorâneas Brasileiras: Origem, Características Geotécnicas e Experiências de Obras, 1988, 3.55-3.69.

FUTAI, M.M, ALMEIDA, M.S.S & LACERDA, W.A., **Propriedades Geotécnicas das Argilas do Rio de Janeiro**, Encontro Propriedades de Argilas Moles Brasileiras, Rio de Janeiro, p.138-165, 2001

GARCÉS, V. A. N., **Características de Deformabilidade e Adensamento de Alguns Depósitos de Argila Mole do Rio de Janeiro**, Dissertação de Mestrado, Departamento de Engenharia Civil, PUC-Rio, Rio de Janeiro, 1995, 195p.

HENKEL, D.J & GILBERT, G.D., **The Effect of the Rubber Membrane on the Measured Triaxial Compression Strength of Clay Samples**, Geotechnique, 1954, Vol.3, p. 20 – 29.

JAKY, J., **The Coefficient of Earth Pressure at Rest**, Journal of the Society of Hungarian Architects and Engineers, p. 335-358, 1944.

LADD, C.C., **Estimating Settlement of Structures on Cohesive Soils**, MIT Soils Publication, n° 272, 99p., 1973.

LADD, C.C & DeGroot, D.J. **Recommended practice for soft ground site characterization: Arthur Casagrande Lecture**, 12th Panam. Conf. on Soil Mechanics and Geotechnical Engineering, 2004

LINS, A. H. P.& LACERDA, W. A., **Ensaio Triaxiais de Compressão e Extensão na Argila Cinza do Rio de Janeiro em Botafogo**, Solos e Rochas, Revista Brasileira de Geotecnia, 1980, Vol.3, n°2, p.5 – 29.

LUNNE, T; BERRE, T. & STRANDVIK, S., **Sample Disturbance Effects in Soft Low Plastic Norwegian Clay**. Recent Developments in Soil and Pavement Mechanics, Almeida (ed). Balkema, Rotterdam,1997, p. 81-102.

MARTINS, I.S, **Fundamentos de um Modelo de Comportamento de Solos Argilosos Saturados**, Tese de Doutorado, COPPE/UFRJ, Rio de Janeiro, 1992

MARTINS, I. S. M. & LACERDA, W. A., **Sobre a Relação Índice de Vazios – Tensão Vertical Efetiva na Compressão Unidimensional**, Solos e Rochas, Revista Brasileira de Geotecnia, 1994, Vol.17, n°3, p.157-166.

MASSAD, F. **História geológica e propriedades dos solos de baixadas: Comparações entre diferentes locais da costa brasileira**. In: Depósitos Quaternários das Baixadas Brasileiras, Rio de Janeiro, 1988, p. 3.1-3.34

MITCHELL, J.K., **Fundamentals of Soil Behavior**, John Wiley and Sons, Inc, 1^a ed., 1976, 437p.

OLIVEIRA, J.T.R. **A Influência da Qualidade da Amostra no Comportamento Tensão-Deformação-Resistência de Argilas Moles**, Tese de Doutorado, COPPE/UFRJ, Rio de Janeiro, 2002.

PINHEIRO, J.C.N, **Ensaio Triaxiais em Depósito de Argila Mole Turfoso à Margem Oeste da Lagoa de Itaipu**, Dissertação de Mestrado, Departamento de Engenharia Civil, PUC-Rio, Rio de Janeiro, 1980

SANDRONI, S. S., **Obtendo Boas Estimativas de Recalque em Solos Muito Moles: O Caso da Barra da Tijuca, Rio de Janeiro**, COBRAMSEG, Curitiba, 2006, Vol 1, p.507-512.

RUTLEDGE, P.C., **Relation of Undisturbed Sampling to Laboratory Testing**, Transaction of the Am. Soc. Civil., Nova York, 1944, Vol. 109.

SANTOS, H.M.C., **Caracterização Física, Química, Mineralógica e Geotécnica dos Gleissolos das Baixadas de Jacarepaguá, Guaratiba e Santa Cruz – do Município do Rio de Janeiro**, Departamento de Geologia, CCMN/UFRJ, 2004, 244p.

SANTOS, P.S. **Tecnologia de Argilas aplicada às argilas brasileiras**. ed. da Universidade de São Paulo, 1975, Vol.1 – Fundamentos, 340p.

VILELA, T. F., **Determinação dos Parâmetros de Resistência, “Creep” e de Relaxação de Tensões de uma Argila Mole do Rio de Janeiro**, Dissertação de Mestrado, COPPE/UFRJ, 1976

APÊNDICE I

DETERMINAÇÃO DA VELOCIDADE DOS ENSAIOS DE ADENSAMENTO ANISOTRÓPICO

Os ensaios de adensamento anisotrópico foram realizados sob tensão controlada em um equipamento triaxial desenvolvido no Imperial College, a qual está vinculado o programa Triax. Para a realização dos ensaios neste equipamento é necessário definir a priori, dentre outros fatores, a velocidade de incremento de tensão.

Para tanto, foram realizados quatro ensaios piloto, submetidos a diferentes velocidades de incremento de tensão, com o objetivo de comparar os resultados com os do ensaio hidrostático AI-1, e assim definir uma velocidade que garanta toda a dissipação do excesso de poropressão gerado.

A metodologia adotada para os ensaios piloto foi a mesma dos demais ensaios anisotrópicos, descrita no capítulo 5. Nesses ensaios, não se utilizou o dreno lateral.

A Tabela A.1 indica as velocidades e as características iniciais dos corpos de prova.

Tabela A.1 – Características iniciais dos corpos de prova dos ensaios de adensamento anisotrópico para diferentes velocidades

Velocidade do ensaio	Amostra	Prof. (m)	G _s	γ _t (kN/m ³)	γ _d (kN/m ³)	w ₀ (%)	e ₀	S ₀ (%)
5 kPa/h	AM-2	3,5 a 4,0	2,63	12,78	5,52	131,4	3,67	94,12
10 kPa/h	AM-1	5,3 a 5,7	2,65	12,88	5,60	129,9	3,64	94,60
15 kPa/h	AM-1	5,3 a 5,7	2,65	13,56	6,75	100,9	2,86	93,80
20 kPa/h	AM-1	3,5 a 4,0	2,62	13,15	5,89	123,2	3,36	96,03

A Figura A.1 ilustra as curvas tensão-deformação desses ensaios, comparando com o ensaio hidrostático AI-1. Do gráfico, concluiu-se que a velocidade de incremento de tensão que produz resultados mais próximos do ensaio não controlado é a de 5 kPa/h.

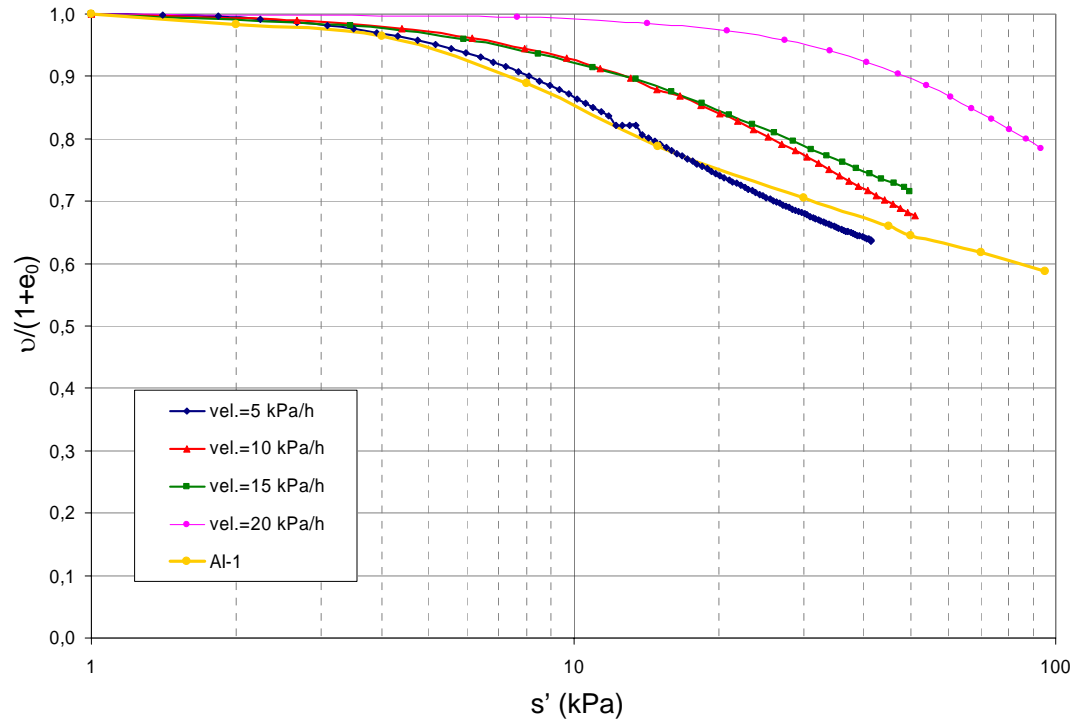


Figura A.1 – Curvas tensão-deformação

ANEXO I

RESULTADOS INDIVIDUAIS DA CARACTERIZAÇÃO

Neste Anexo serão apresentados os resultados individuais de cada uma das amostras caracterizadas.

A Tabela A.1 mostra, para todas as amostras, o resumo dos resultados da análise granulométrica, da densidade relativa dos grãos, dos limites de liquidez e de plasticidade, a atividade de Skempton e a classificação dos solos de acordo com o Sistema Unificado de Classificação de Solos (SUCS).

A seguir encontram-se as curvas granulométricas individualizadas do aterro e do perfil do depósito mole estudado.

Tabela A.I.1 – Tabela resumo dos ensaios de caracterização

Amostra	Prof. (m)	Granulometria (%)						Gs	LL (%)	LP (%)	IP (%)	IA	USCS
		Pedregulho	Areia Grossa	Areia Média	Areia Fina	Silte	Argila						
Aterro	1,10 – 1,40	4,0	25,0	15,0	6,0	19,9	30,1	2,77	51	33	19	0,62	SM
AM-1	2,50 – 3,00	-	-	0,1	2,9	32,2	64,6	2,54	121	56	66	1,01	MH
AM-1	3,50 – 4,00	-	-	0,1	4,3	39,9	55,7	2,62	135	55	81	1,44	MH
AM-1	5,25 – 5,75	-	-	0,8	16,1	46,4	36,7	2,66	85	45	40	1,09	MH
AM-1	6,00 – 6,50	-	-	0,5	33,3	29,0	37,2	2,57	56	31	25	1,44	MH
AM-2	3,50 – 4,00	-	-	7,9	9,8	47,0	53,3	2,64	87	33	55	1,03	CH
AM-3	3,50 – 4,00	-	-	0,1	2,2	40,1	57,5	2,53	153	53	100	1,73	CH
AM-4	3,50 – 4,00	-	-	0,8	3,8	40,2	55,2	2,51	134	51	83	1,51	MH
AM-5	3,50 – 4,00	-	-	1,1	7,2	35,4	56,3	2,45	114	47	65	1,16	MH
AM-6	3,50 – 4,00	-	-	0,4	2,1	59,4	38,1	2,65	121	38	82	2,16	CH
AM-7	3,50 – 4,00	-	-	0,7	1,3	40,9	57,1	2,62	138	49	89	1,55	CH
AM-8	3,50 – 4,00	-	-	0,4	2,3	56,9	40,4	2,68	119	46	73	1,81	CH
AM-9	3,50 – 4,00	-	-	0,1	2,2	44,7	53,1	2,63	114	32	82	1,55	CH
AM-11	3,50 – 4,00	-	-	0,2	1,3	50,4	48,1	2,60	116	44	73	1,51	CH
AM-12	3,50 – 4,00	-	-	0,1	1,2	45,6	53,1	2,62	121	53	68	1,28	MH
AM-13	3,50 – 4,00	-	-	0,7	15,2	54,0	30,2	2,64	132	42	91	2,99	CH
AM-14	3,50 – 4,00	-	-	0,7	6,2	56,6	36,4	2,60	108	37	71	1,95	CH
AM-15	3,50 – 4,00	-	-	0,5	2,3	48,3	48,9	2,60	151	55	96	1,96	CH

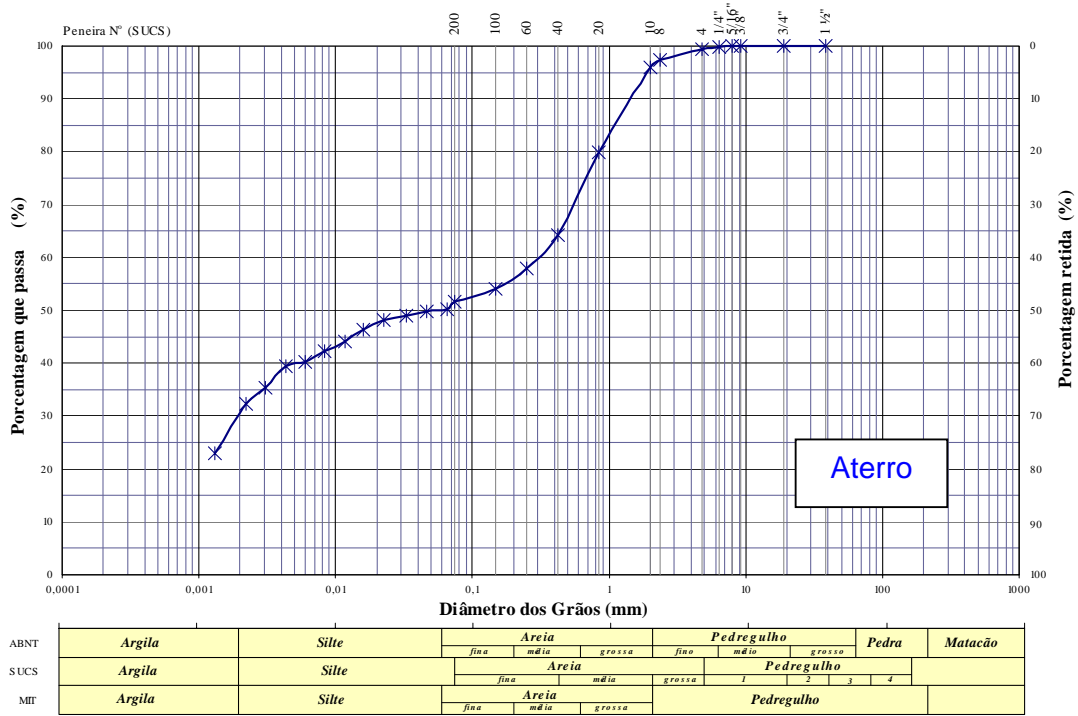


Figura A.I.1 – Curva granulométrica do aterro

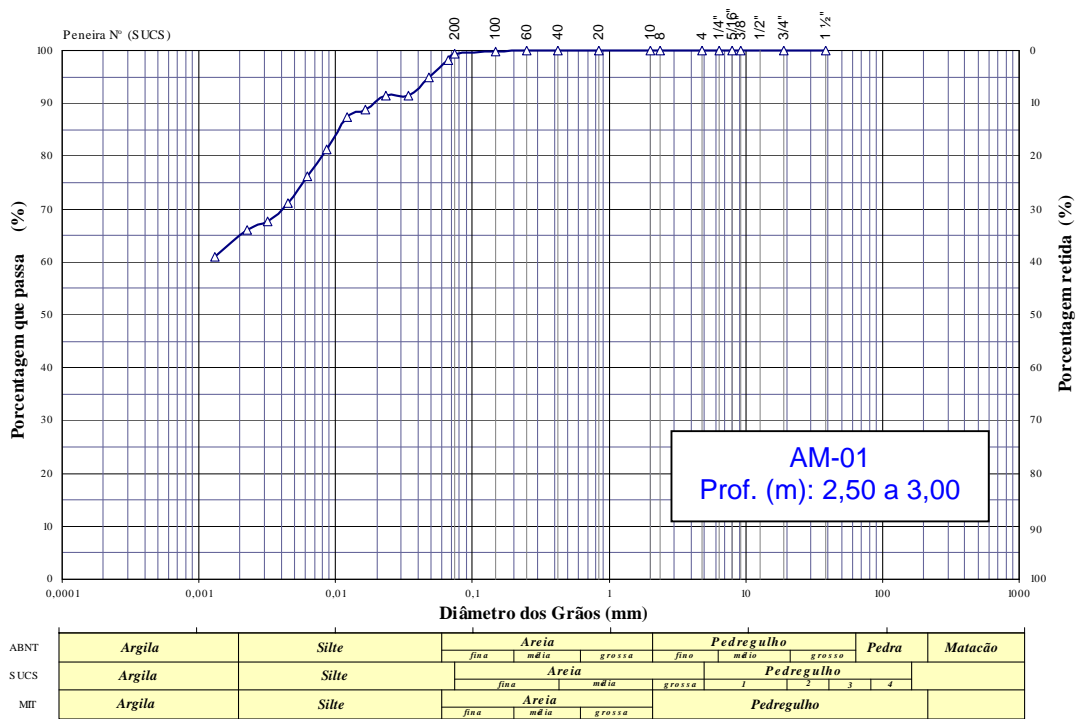


Figura A.I.2 – Curva granulométrica da amostra AM-01 (prof. 2,50 a 3,00 metros)

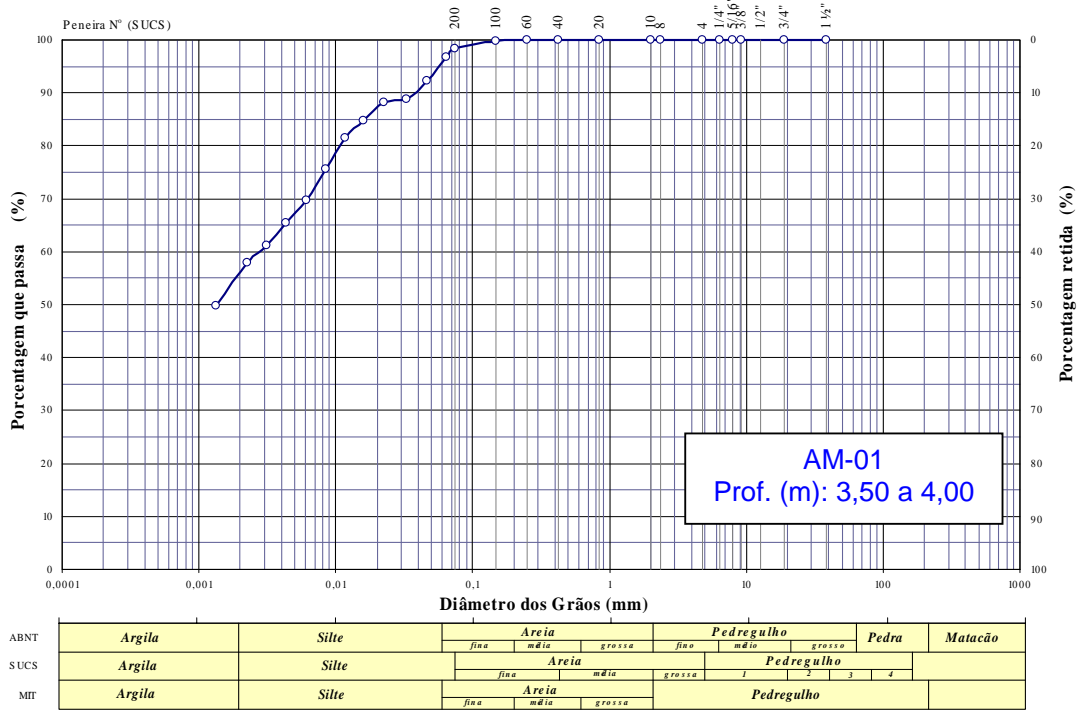


Figura A.I.3 - Curva granulométrica da amostra AM-01 (prof. 3,50 a 4,00 metros)

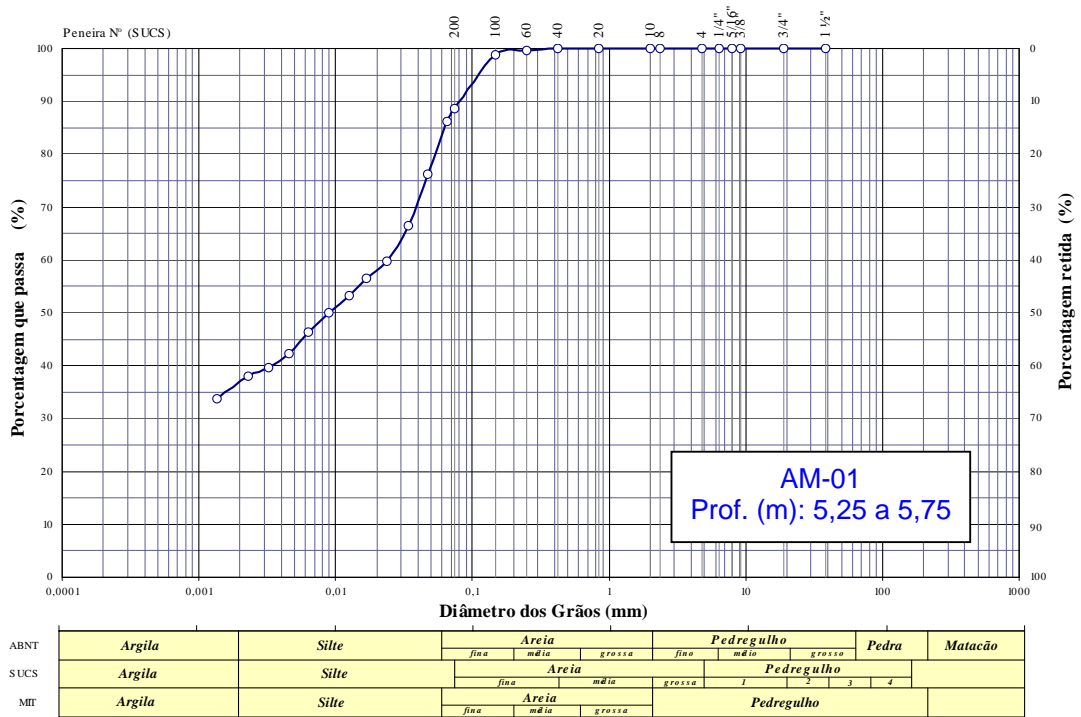


Figura A.I.4 - Curva granulométrica da amostra AM-01 (prof. 5,25 a 5,75 metros)

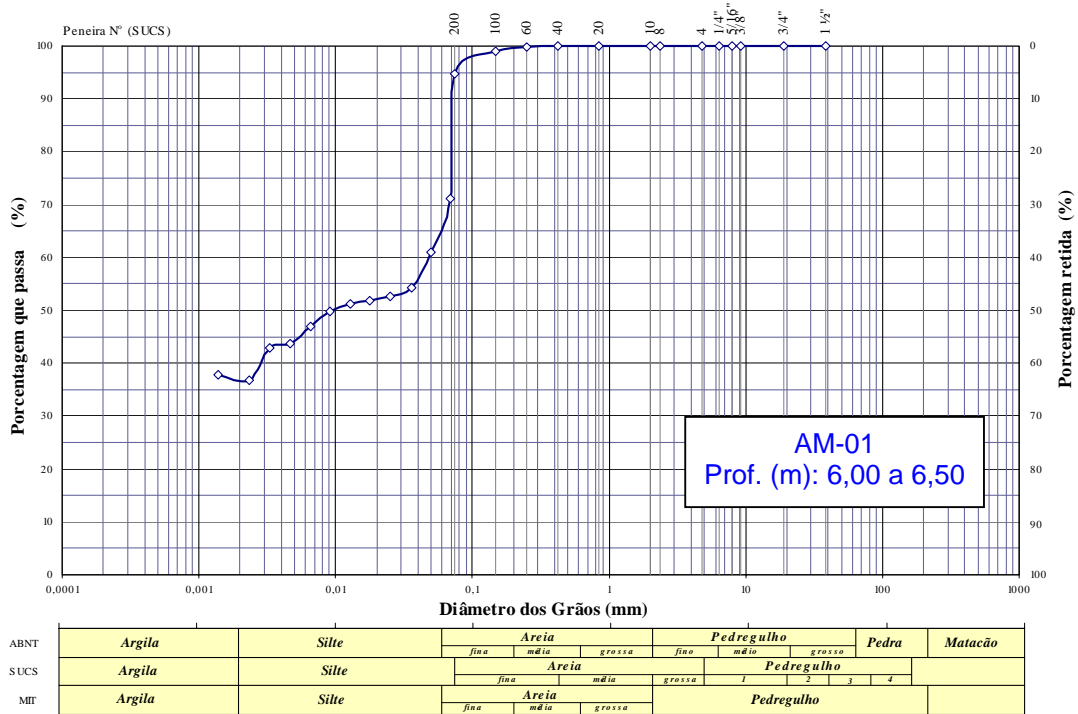


Figura A.I.5 - Curva granulométrica da amostra AM-01 (prof. 6,00 a 6,50 metros)

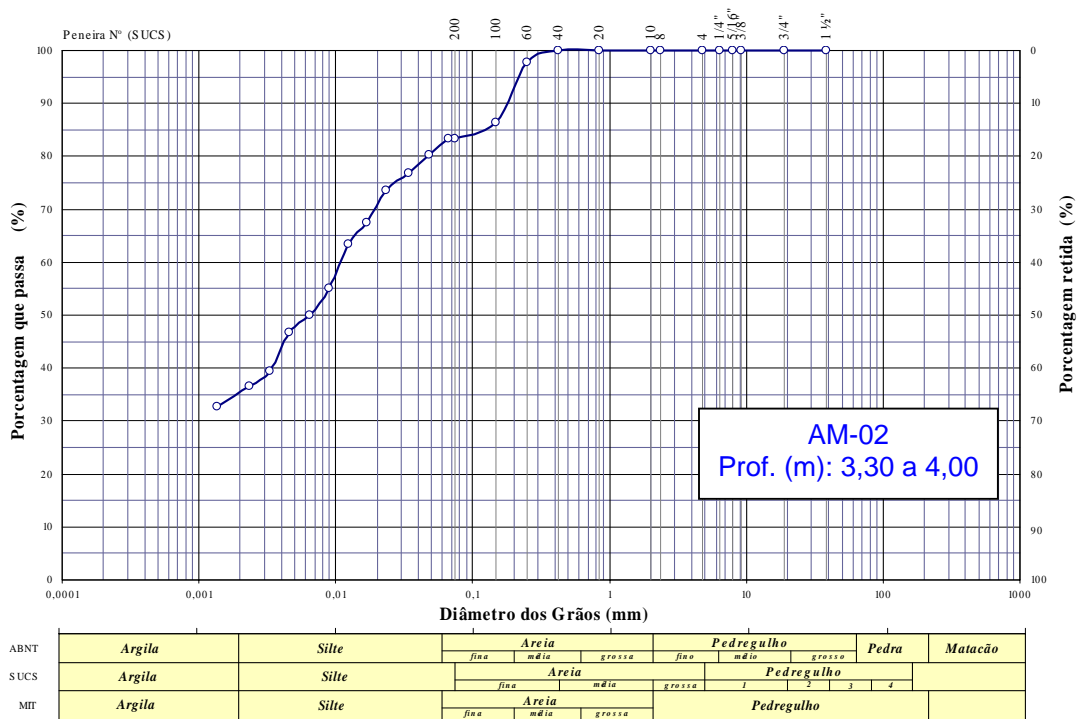


Figura A.I.6 - Curva granulométrica da amostra AM-02 (prof. 3,30 a 4,00 metros)

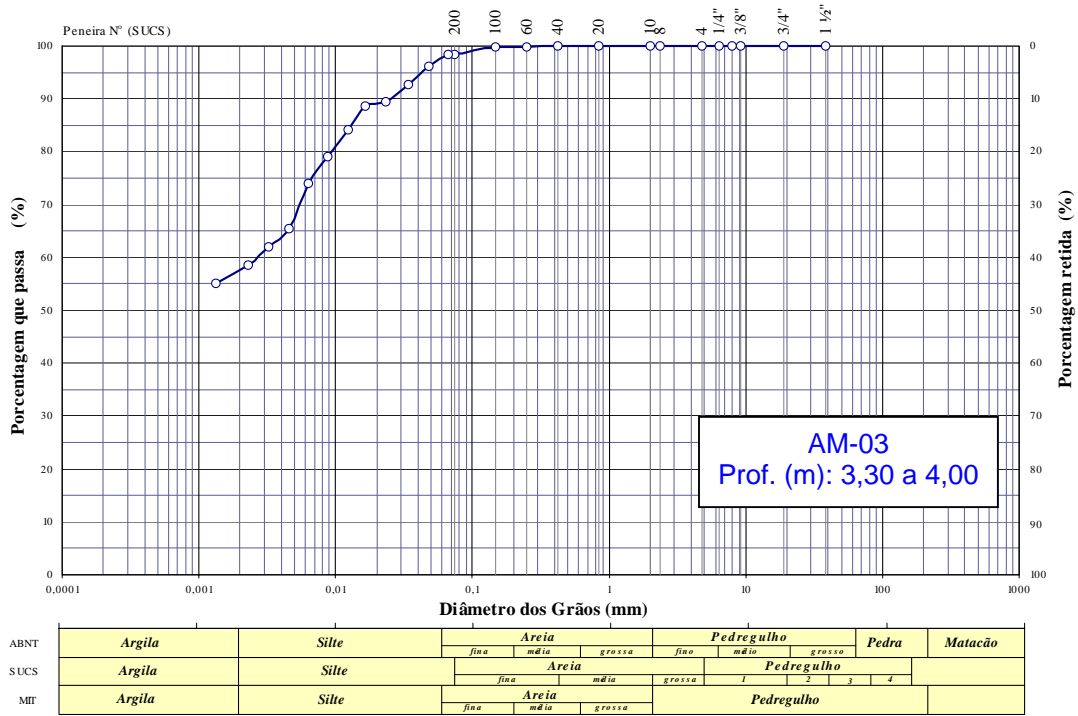


Figura A.I.7 - Curva granulométrica da amostra AM-03 (prof. 3,50 a 4,00 metros)

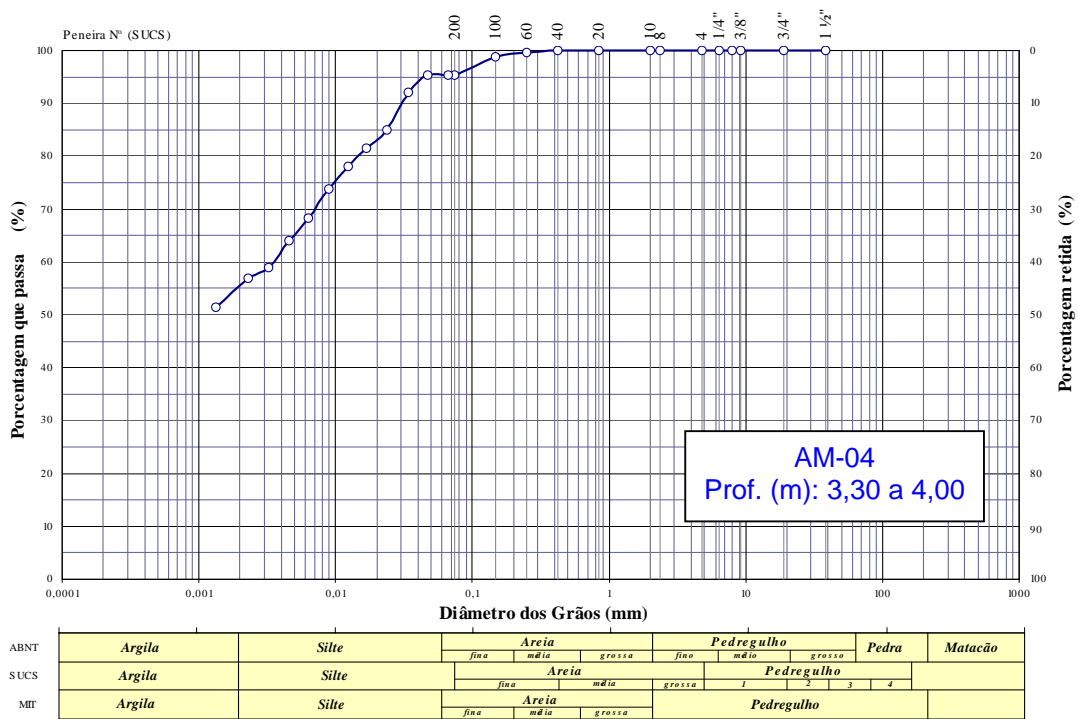


Figura A.I.8 - Curva granulométrica da amostra AM-04 (prof. 3,50 a 4,00 metros)

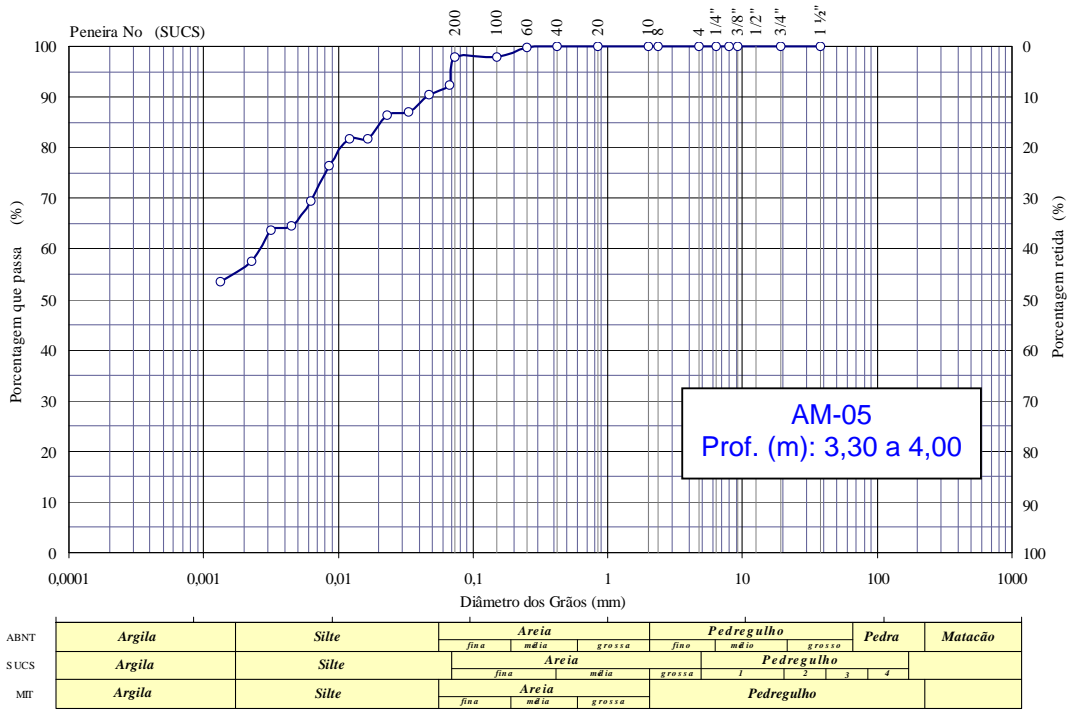


Figura A.I.9 - Curva granulométrica da amostra AM-05 (prof. 3,50 a 4,00 metros)

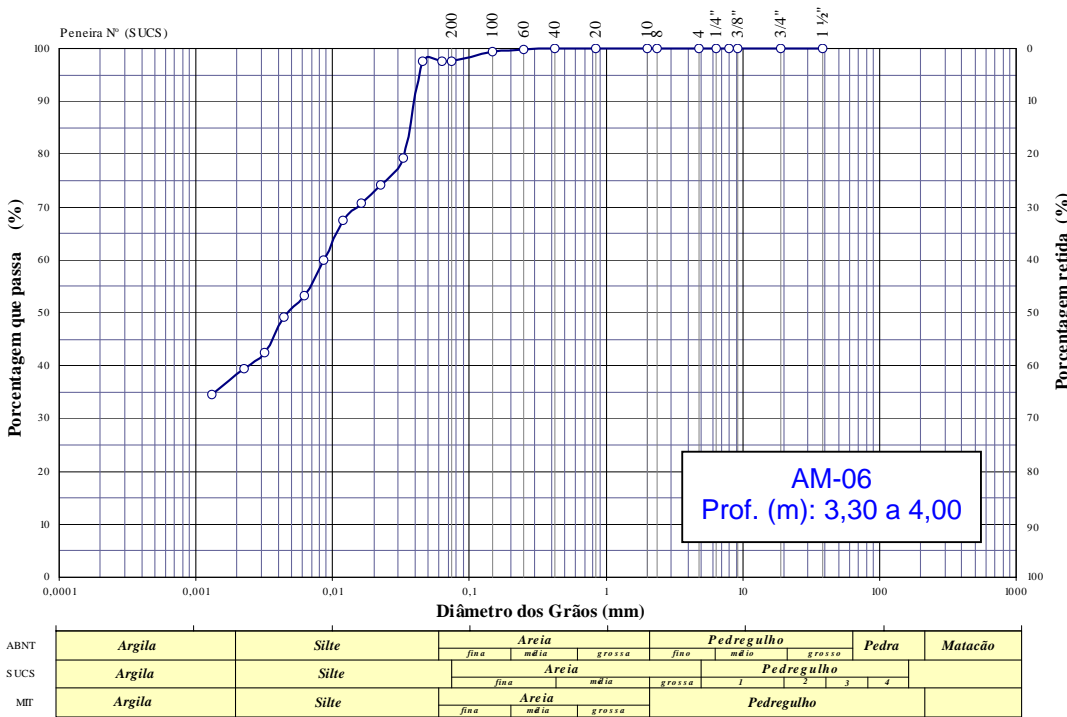


Figura A.I.10 - Curva granulométrica da amostra AM-06 (prof. 3,50 a 4,00 metros)

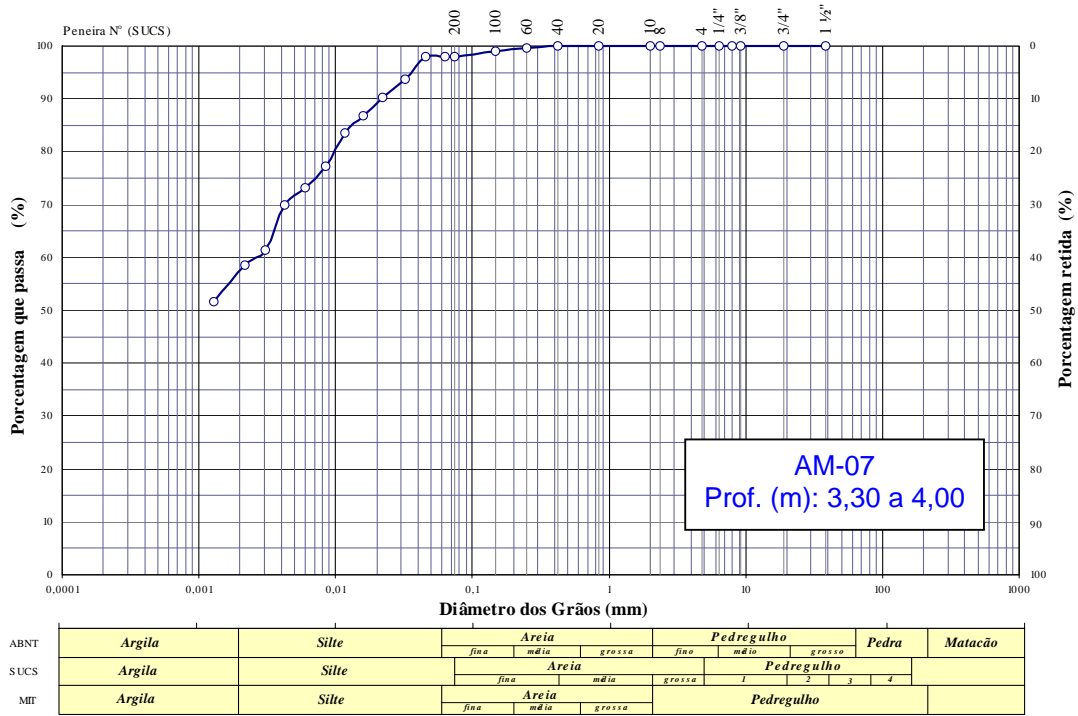


Figura A.I.11 - Curva granulométrica da amostra AM-07 (prof. 3,50 a 4,00 metros)

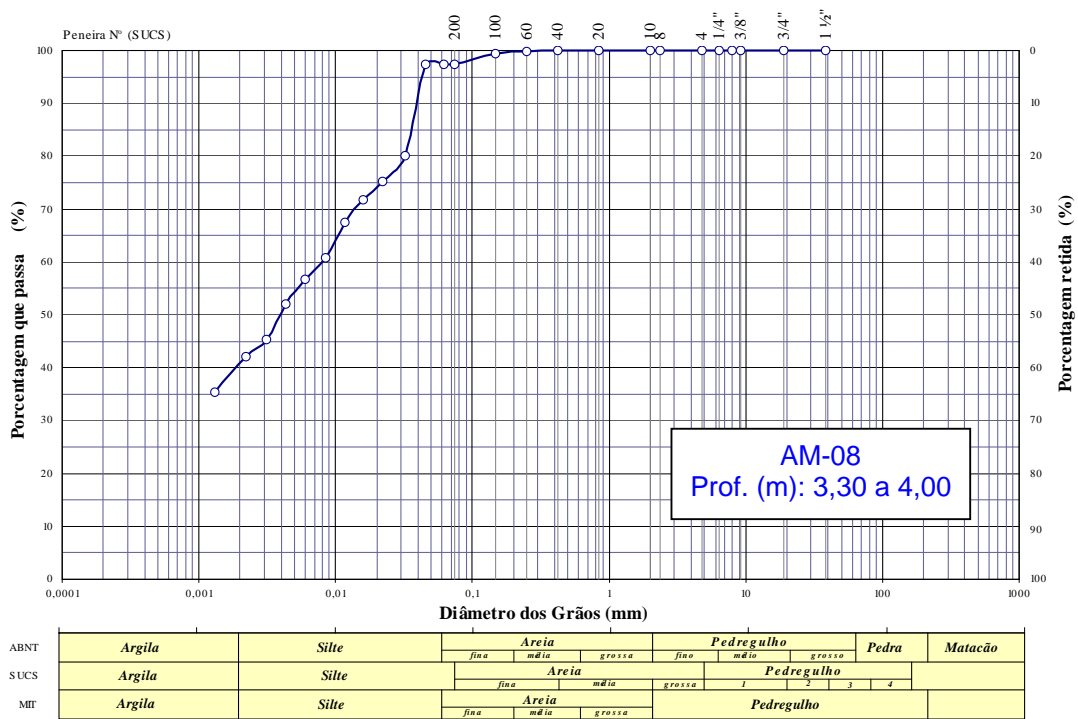


Figura A.I.12 - Curva granulométrica da amostra AM-08 (prof. 3,50 a 4,00 metros)

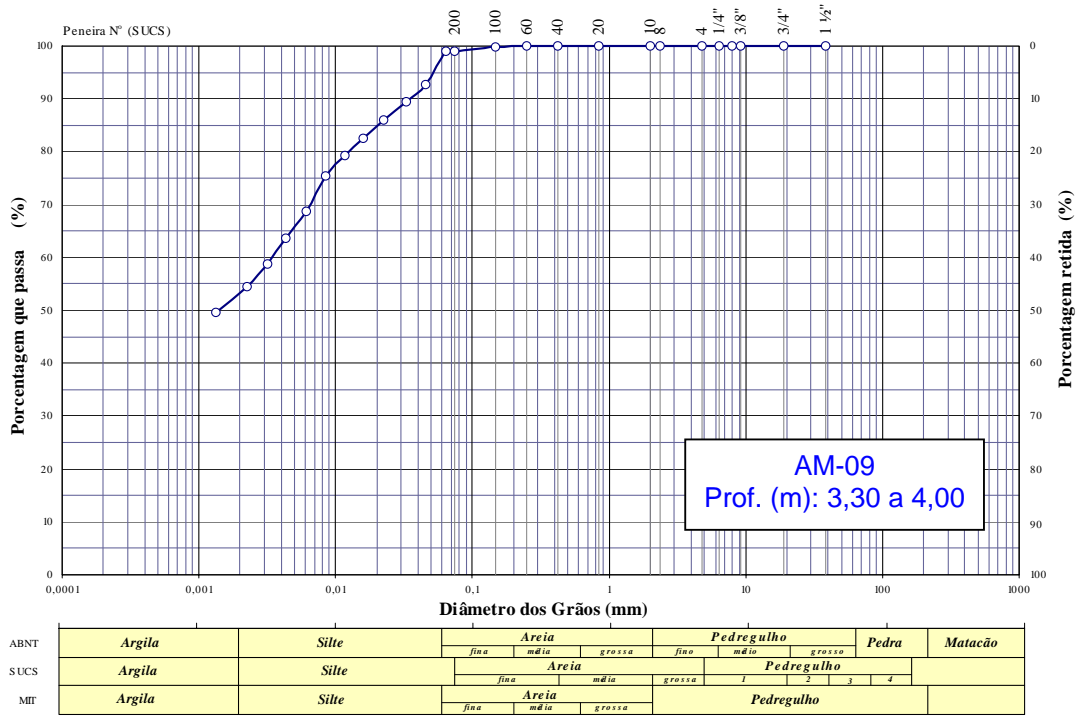


Figura A.I.13 - Curva granulométrica da amostra AM-09 (prof. 3,50 a 4,00 metros)

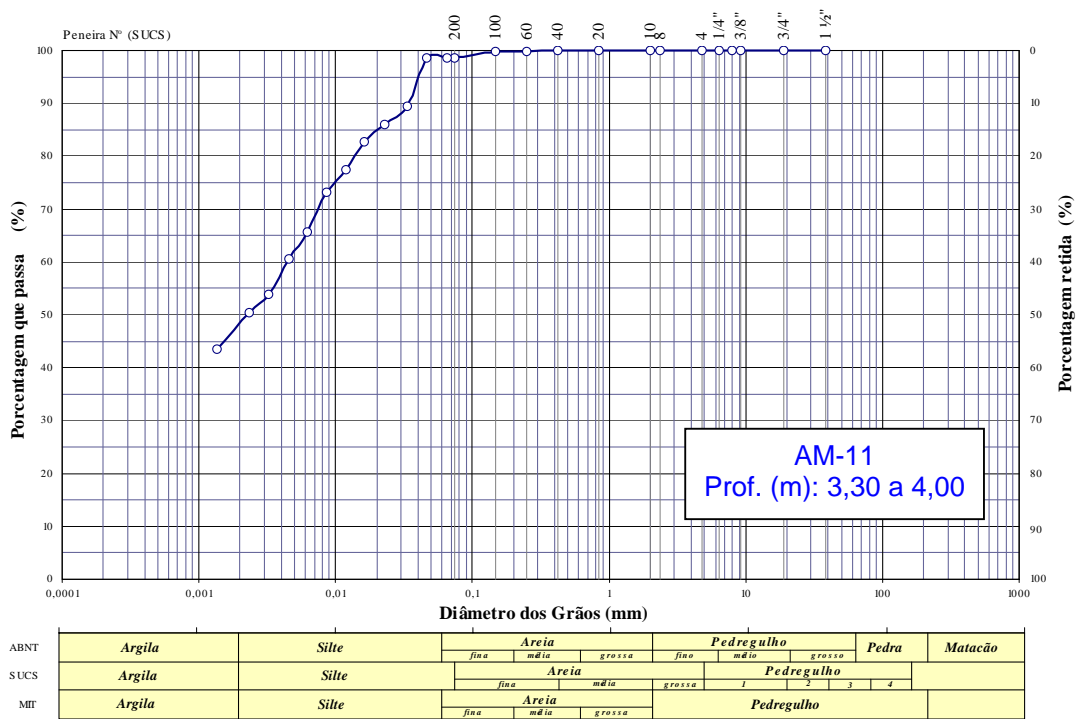


Figura A.I.14 - Curva granulométrica da amostra AM-11 (prof. 3,50 a 4,00 metros)

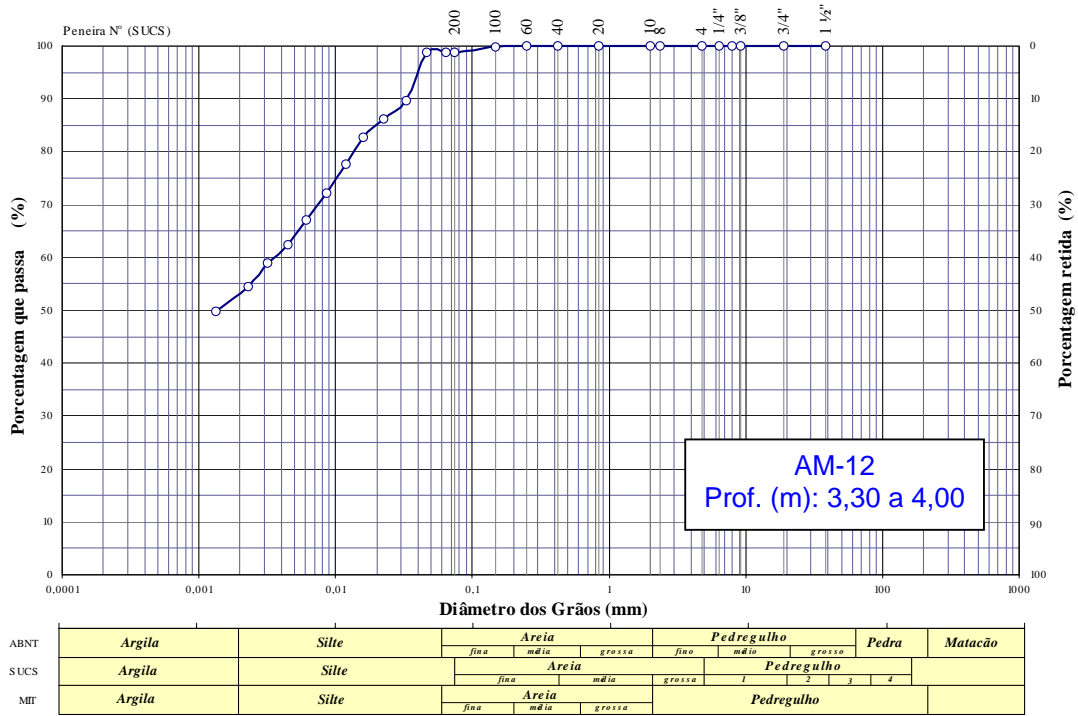


Figura A.I.15 - Curva granulométrica da amostra AM-12 (prof. 3,50 a 4,00 metros)

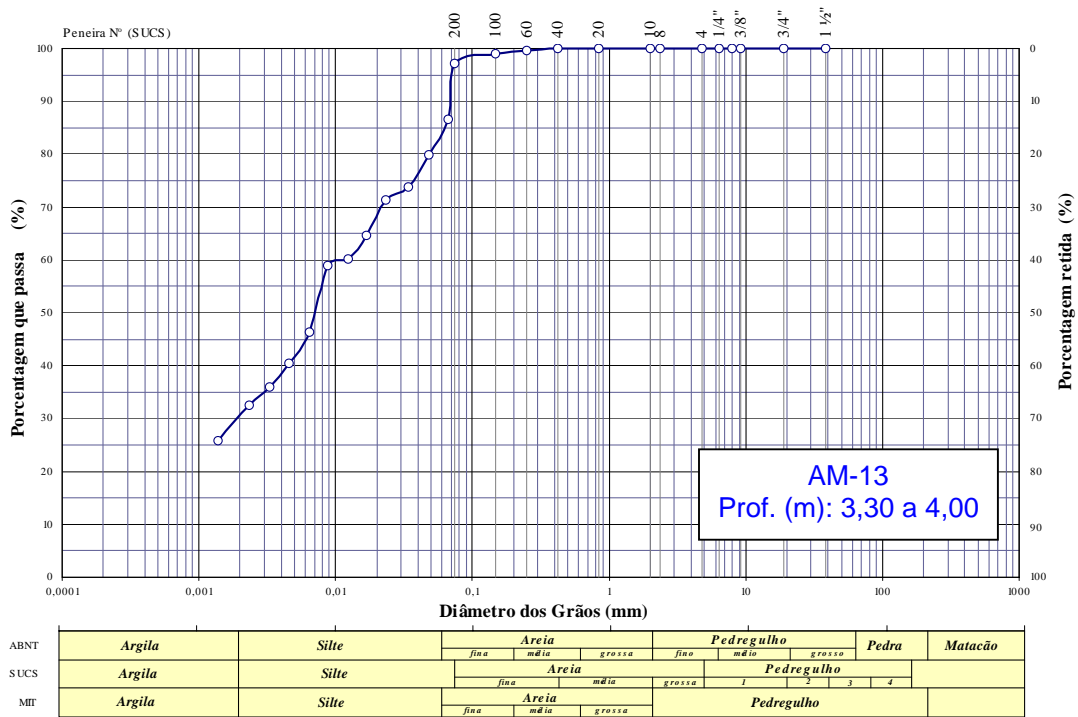


Figura A.I.16 - Curva granulométrica da amostra AM-13 (prof. 3,50 a 4,00 metros)

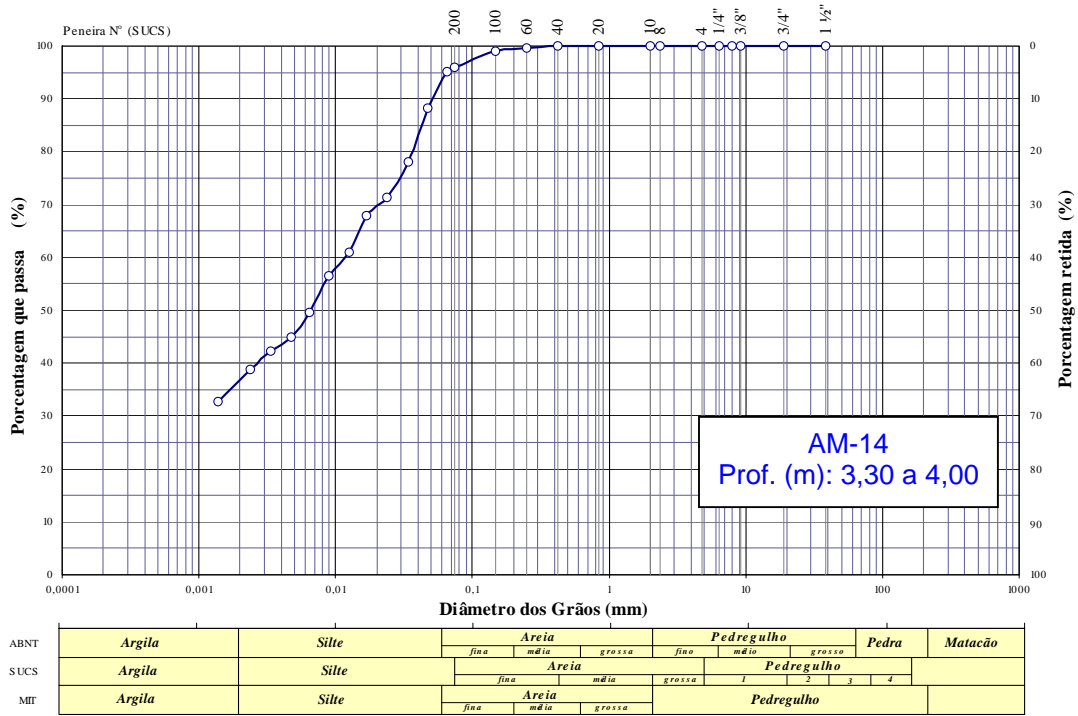


Figura A.I.17 - Curva granulométrica da amostra AM-14 (prof. 3,50 a 4,00 metros)

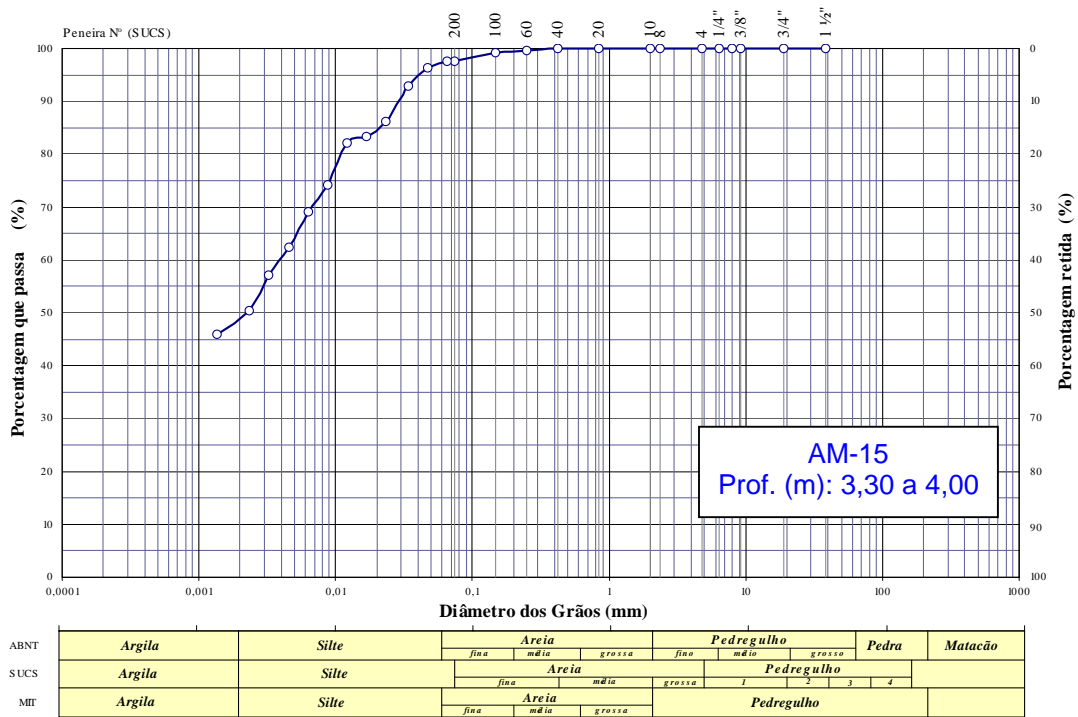


Figura A.I.18 - Curva granulométrica da amostra AM-15 (prof. 3,50 a 4,00 metros)

ANEXO II DIFRATOGRAMAS DE RAIOS X

Neste anexo serão apresentadas as análises de difração de Raios X. Os argilominerais estão identificados de acordo com a seguinte legenda:

- Ct – Caulinita
- Em – Esmeclita
- I – Ilita
- Q - Quartzito

a) Difração de Raios X pelo Método do Pó realizada no material passante na peneira de malha #40

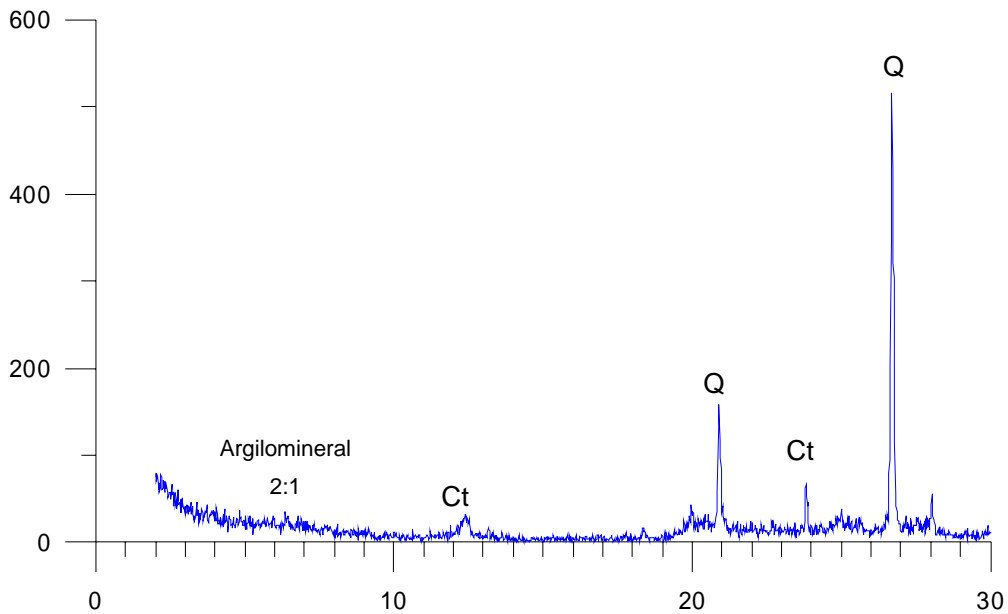


Figura A.II.1 – Difratograma de Raios X da profundidade de 2,50 a 3,00 metros Método do pó no material passante na #40).

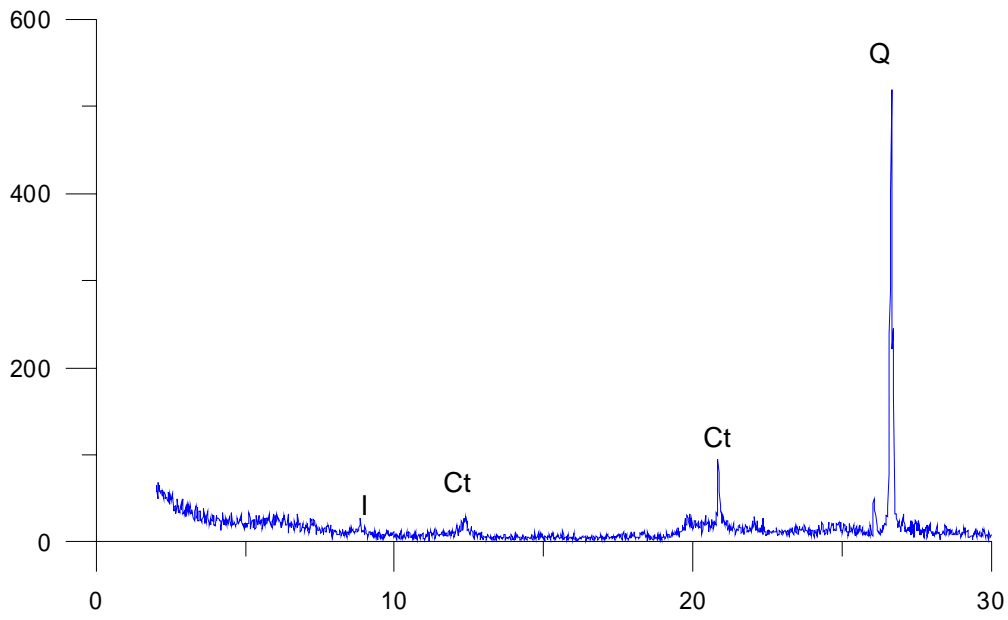


Figura A.II.2 - Difratoograma de Raio X da profundidade de 3,50 a 4,00 metros Método do pó no material passante na #40).

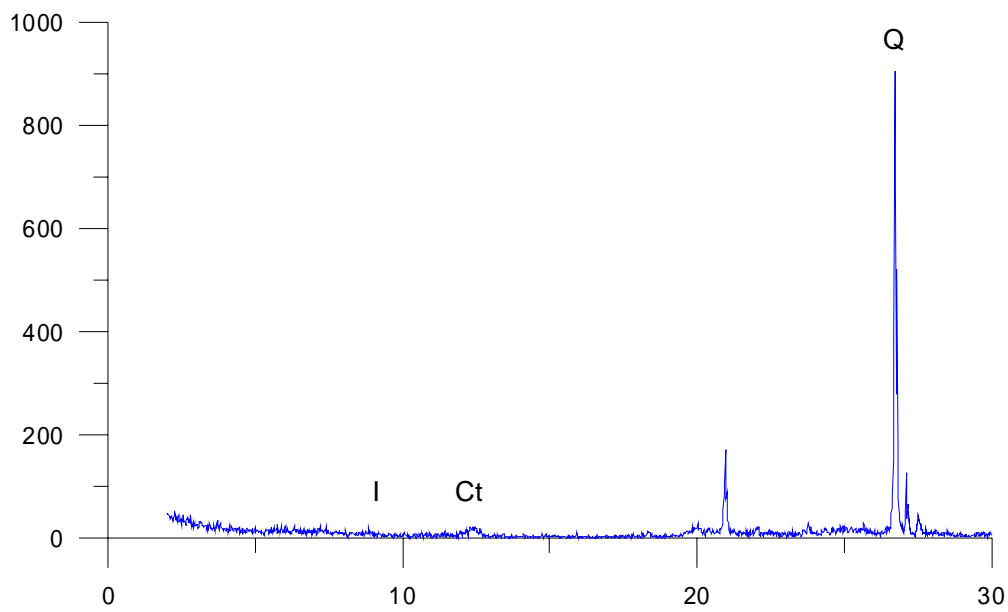


Figura A.II.3 - Difratoograma de Raio X da profundidade de 5,25 a 5,65 metros (Método do pó no material passante na #40).

b) Difração de Raio X pelo Método do Pó realizada no material passante na peneira de malha #200

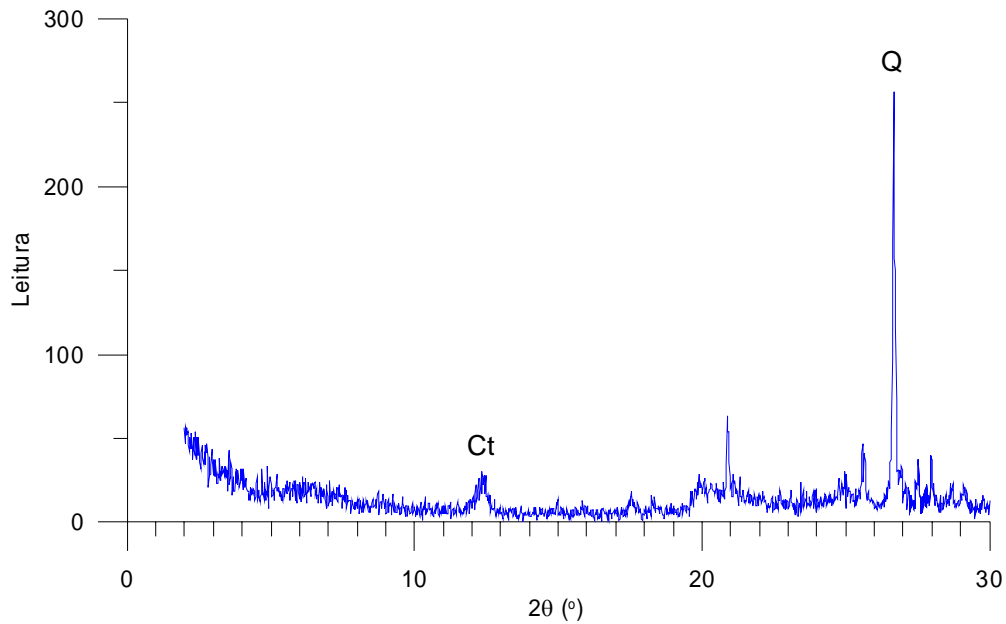


Figura A.II.4 - Difratoograma de Raio X da profundidade de 3,50 a 4,00 metros (Método do pó no material passante na #200)

c) Difração de Raio X pelo Método do Pó realizada no material passante na peneira de malha #400

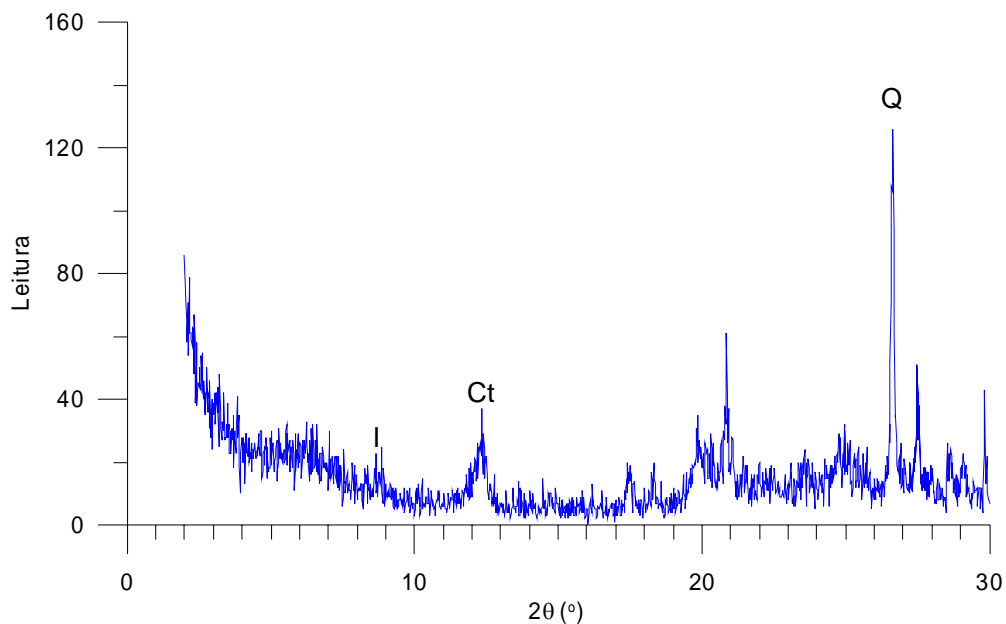


Figura A.II.5 - Difratoograma de Raio X da profundidade de 3,50 a 4,00 metros (Método do pó no material passante na #400)

d) Difração de Raio X realizada em lâminas do material passante na peneira de malha #400

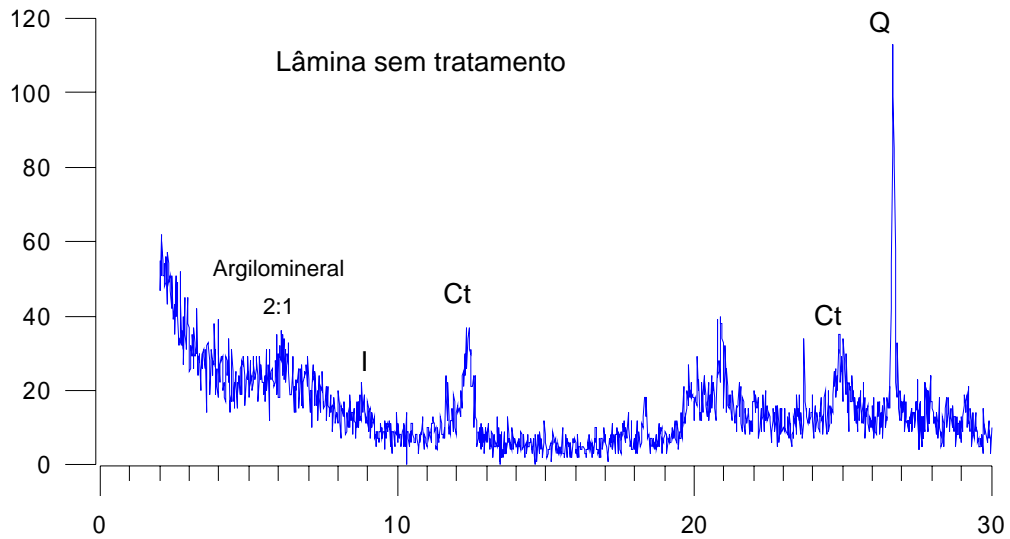


Figura A.II.6 – Difratograma de Raio X da profundidade de 3,50 a 4,00 metros (Lâmina sem tratamento do material passante na #400)

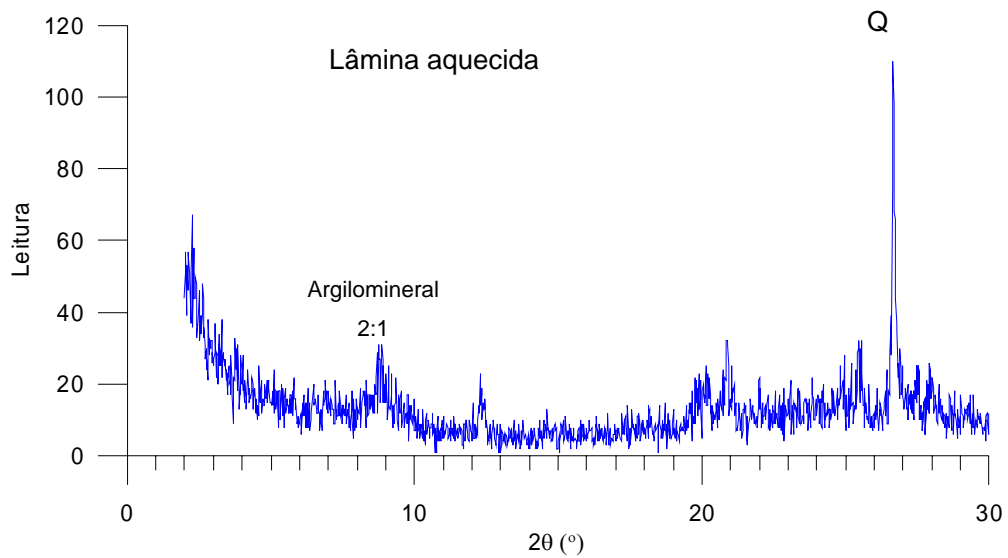


Figura A.II.7 - Difratograma de Raio X da profundidade de 3,50 a 4,00 metros (Lâmina aquecida do material passante na #400)

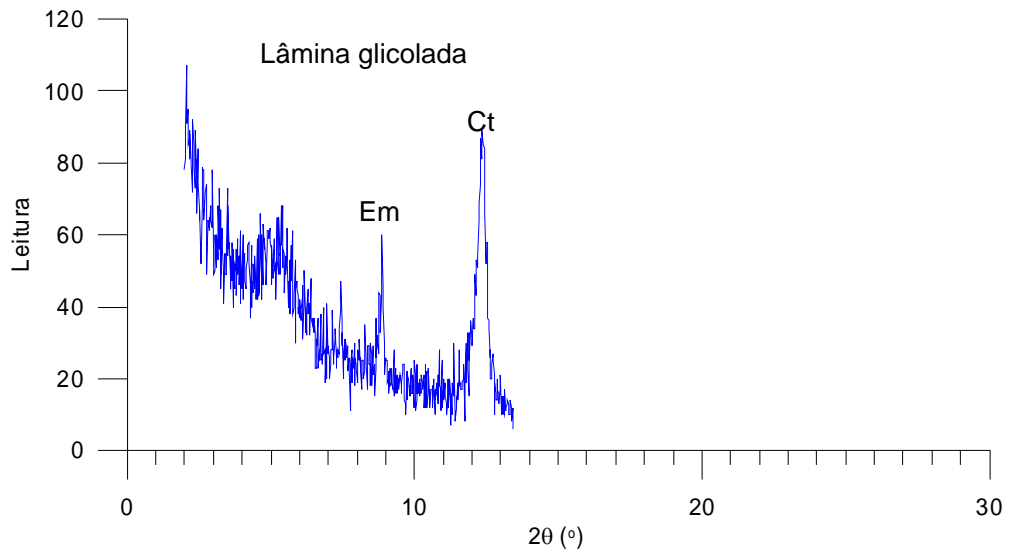


Figura A.II.8 - Difratoograma de Raio X da profundidade de 3,50 a 4,00 metros (Lâmina glicolada do material passante na #400)

ANEXO III RESULTADOS INDIVIDUAIS DOS ENSAIOS DE ADENSAMENTO EDMÉTRICOS

Neste Anexo estão apresentados os resultados individuais de cada um dos ensaios de adensamento edométrico.

a) Ensaio de Adensamento Convencional

i) Ensaio AEI-1

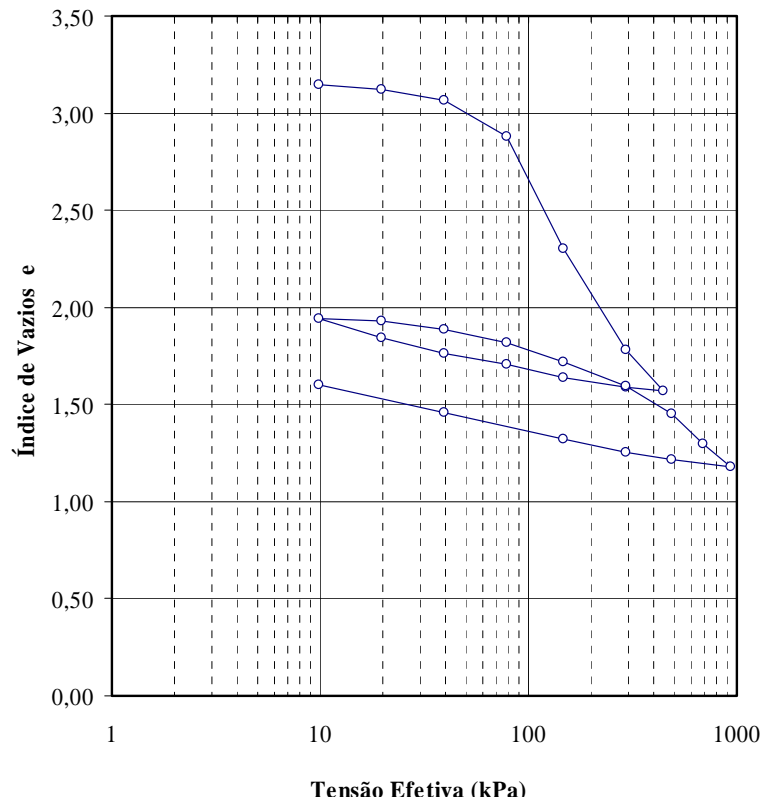


Figura A.III.1 – Curva σ' x e do ensaio AEI-1

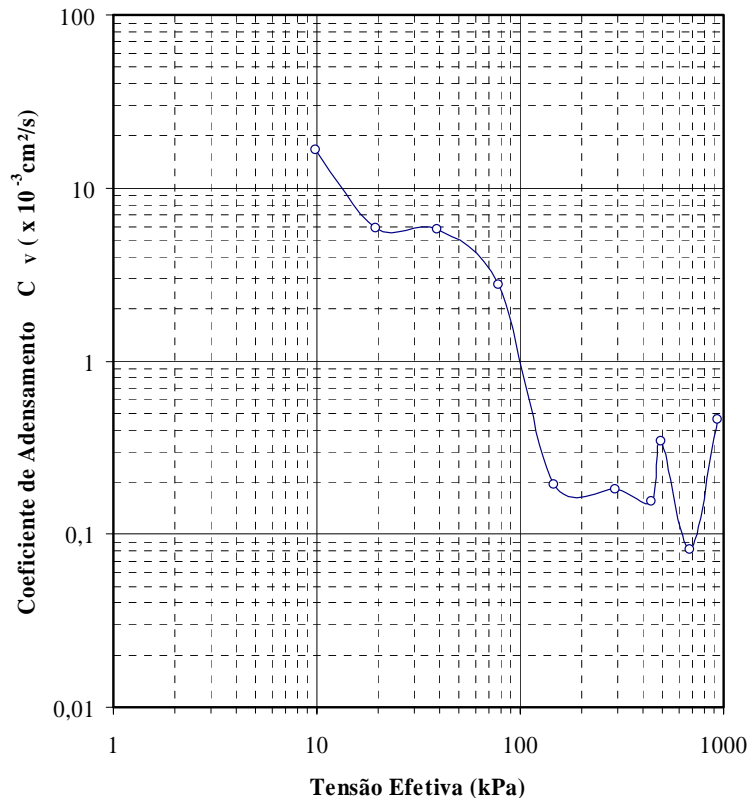


Figura A.III.2 – Curva $\sigma' \times c_v$ do ensaio AEI-1

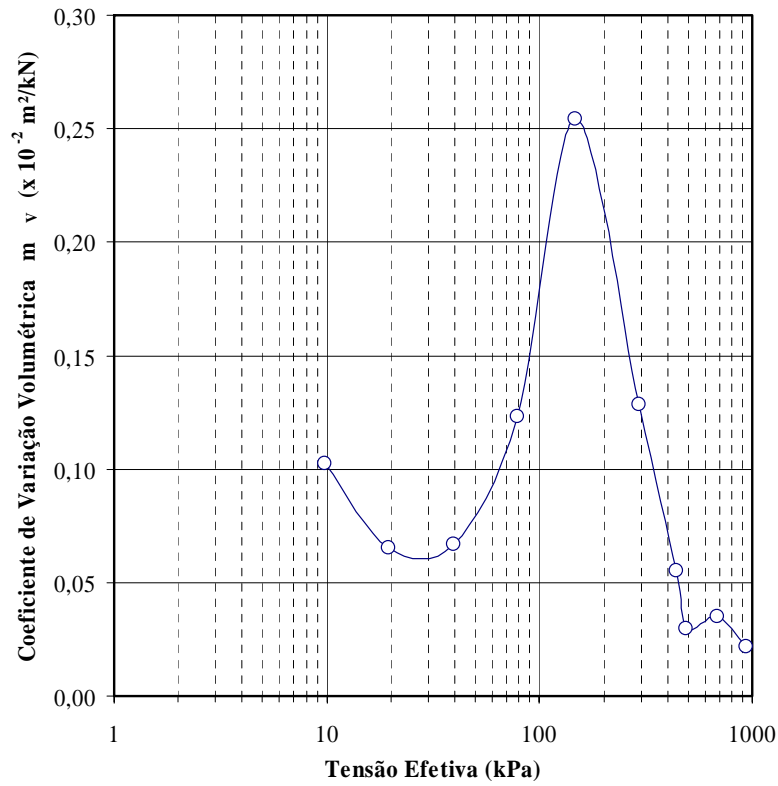
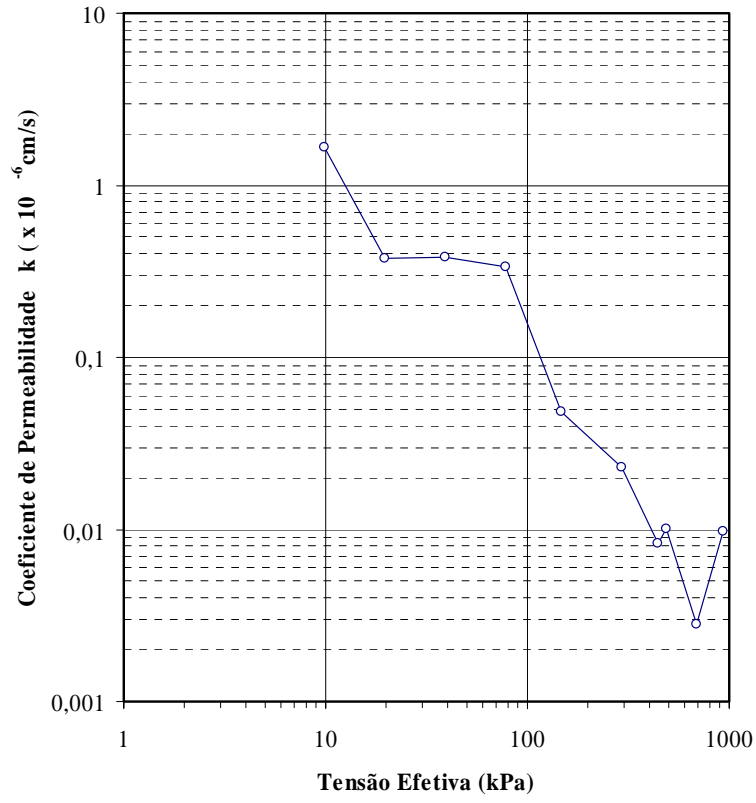


Figura A.III.3 – Curva $\sigma' \times m_v$ do ensaio AEI-1

Figura A.III.4 - Curva $\sigma' \times k$ do ensaio AEI-1

Ensaio de Adensamento Edométrico Convencional

ENSAIO AEI-1
Prof.: 3,50 a 4,00m

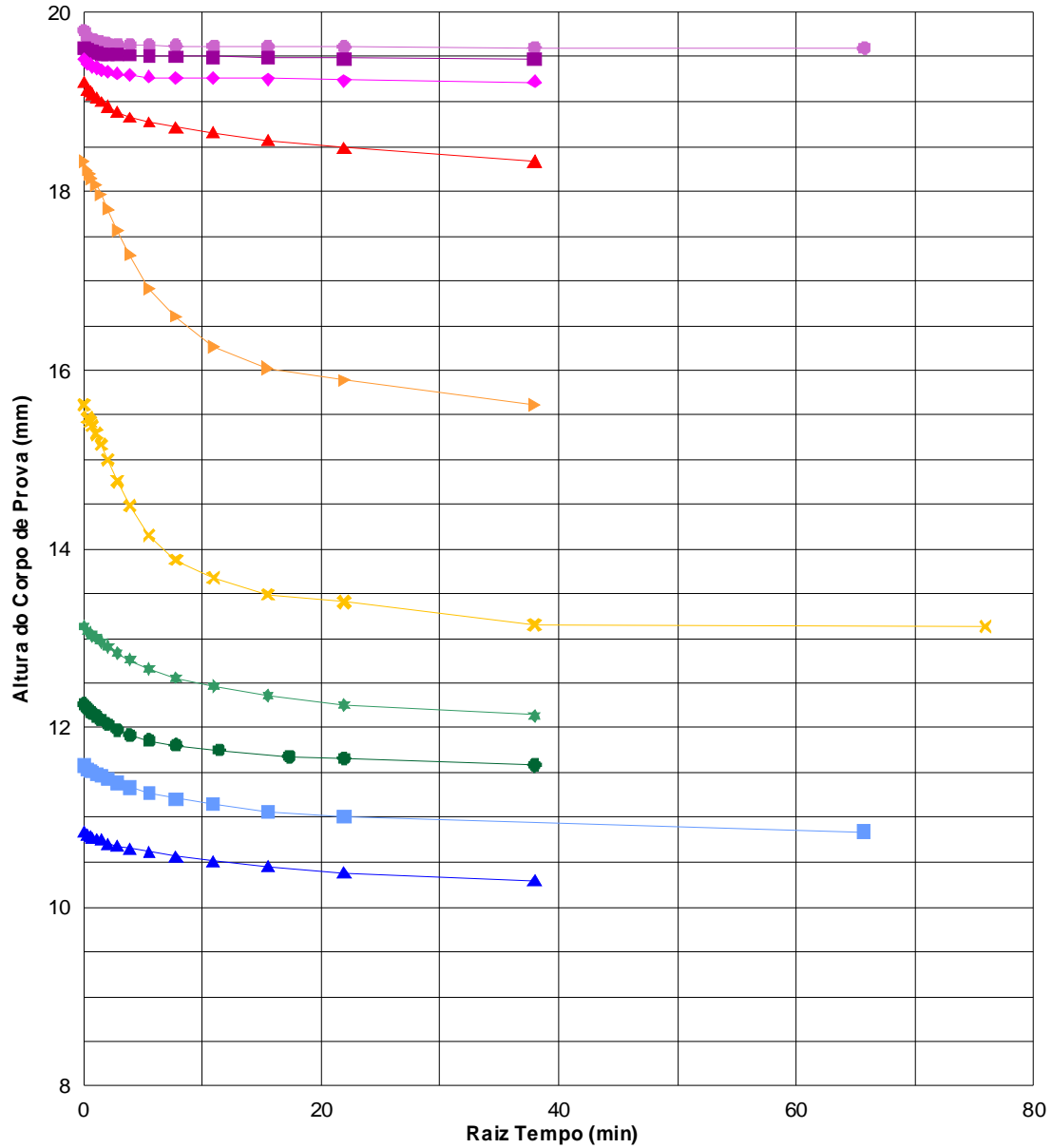


Figura A.III.5 – Curvas raiz tempo x altura do c.p. do ensaio AEI-1

- Ensaio AEA-1

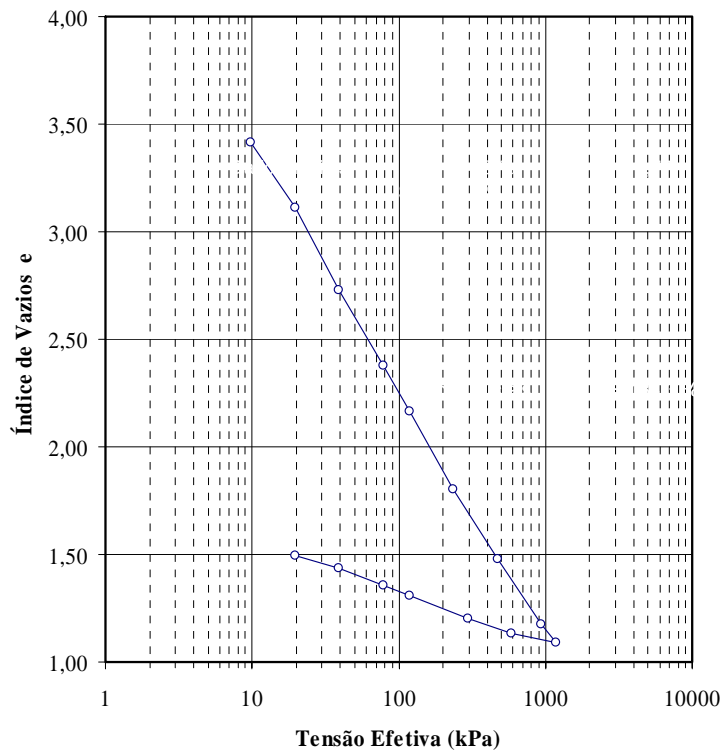


Figura A.III.6 - Curva σ' x e do ensaio AEA-1

- Ensaio AEA-2

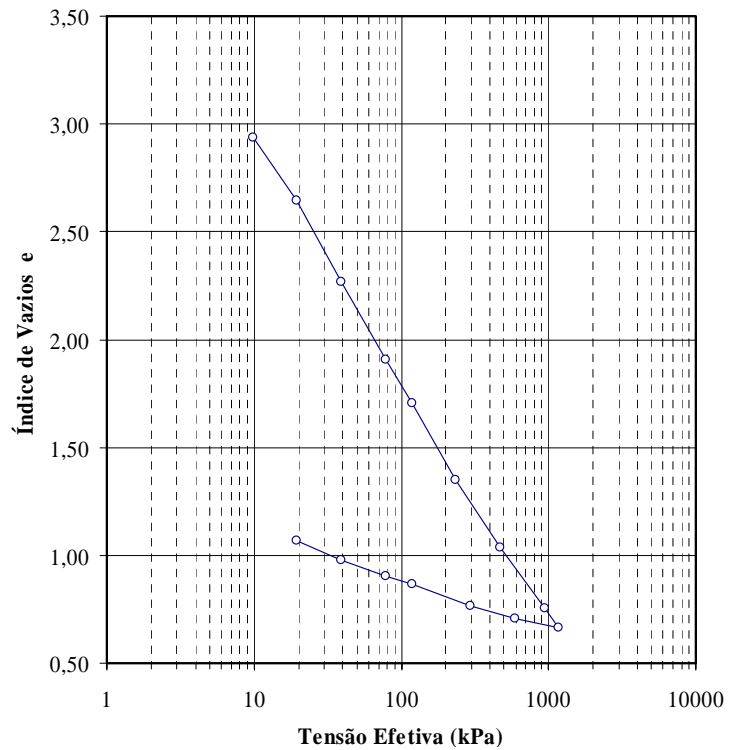
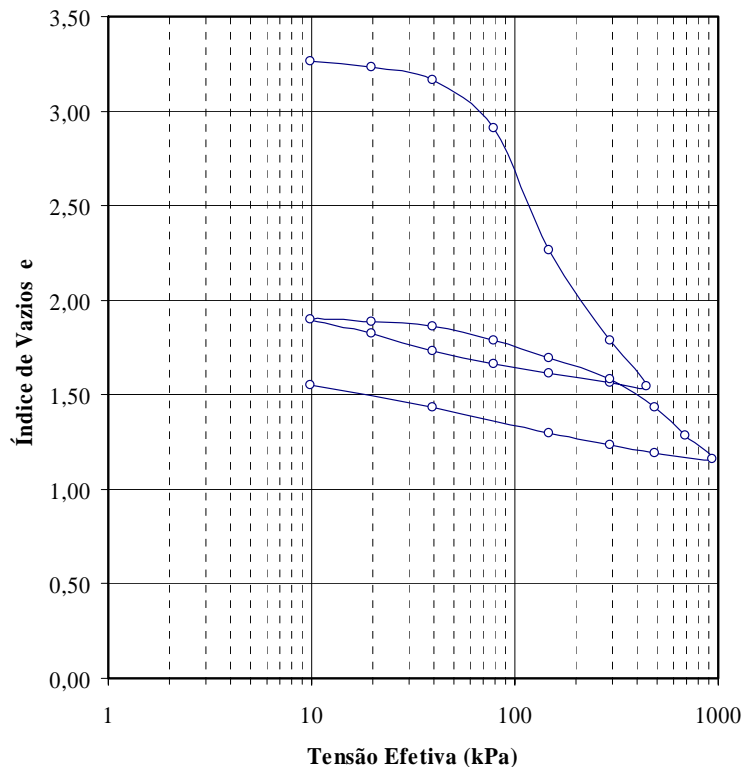
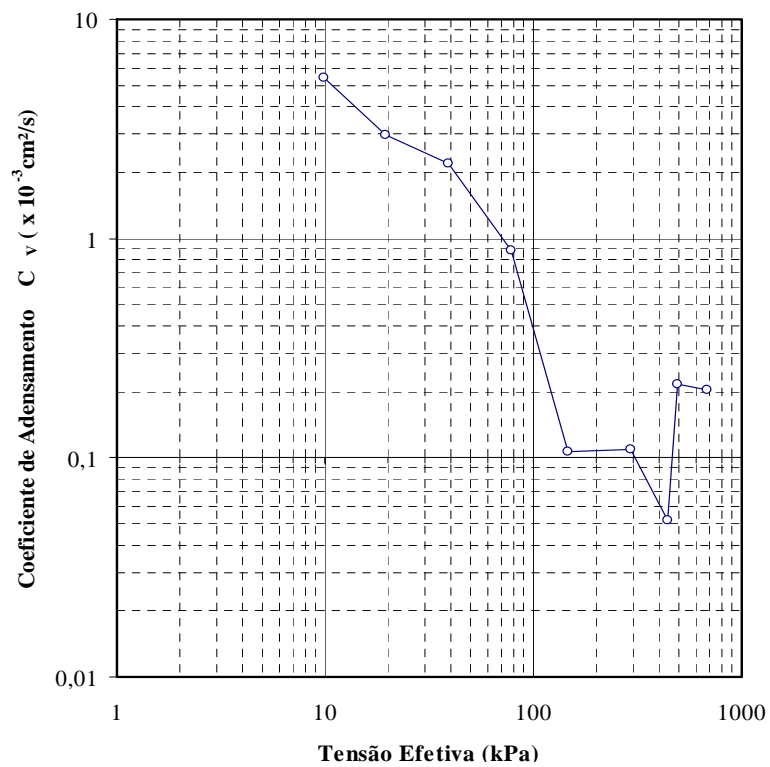


Figura A.III.7 – Curva σ' x e do ensaio AEA-2

b) Ensaio de Adensamento com Medida de Creep (AEI-2)

Figura A.III.9 - Curva σ' x e do ensaio AEI-2Figura A.III.10 – Curva σ' x c_v do ensaio AEI-2

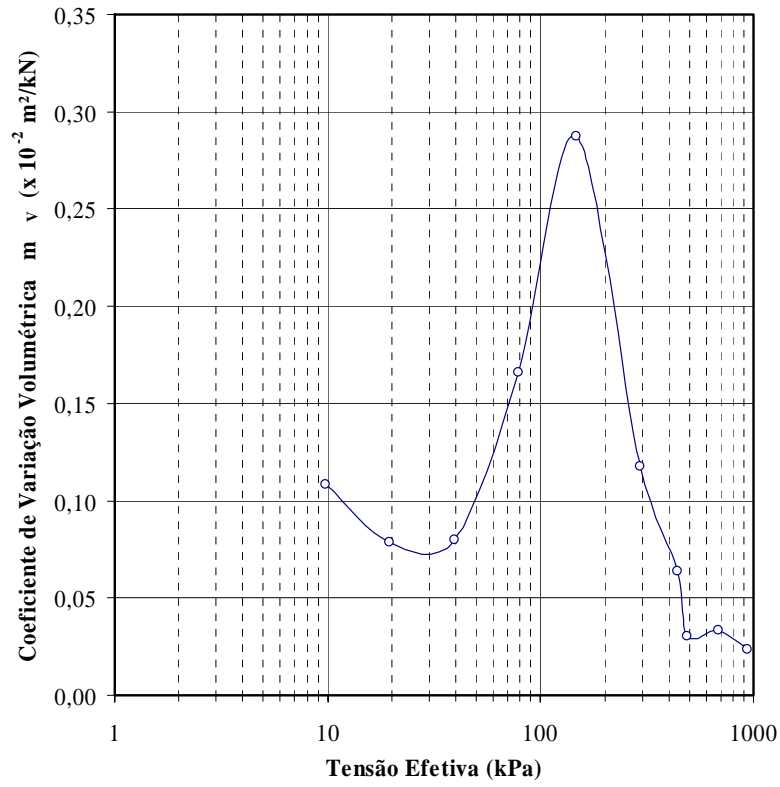


Figura A.III.11 – Curva $\sigma' \times m_v$ do ensaio AEI-2

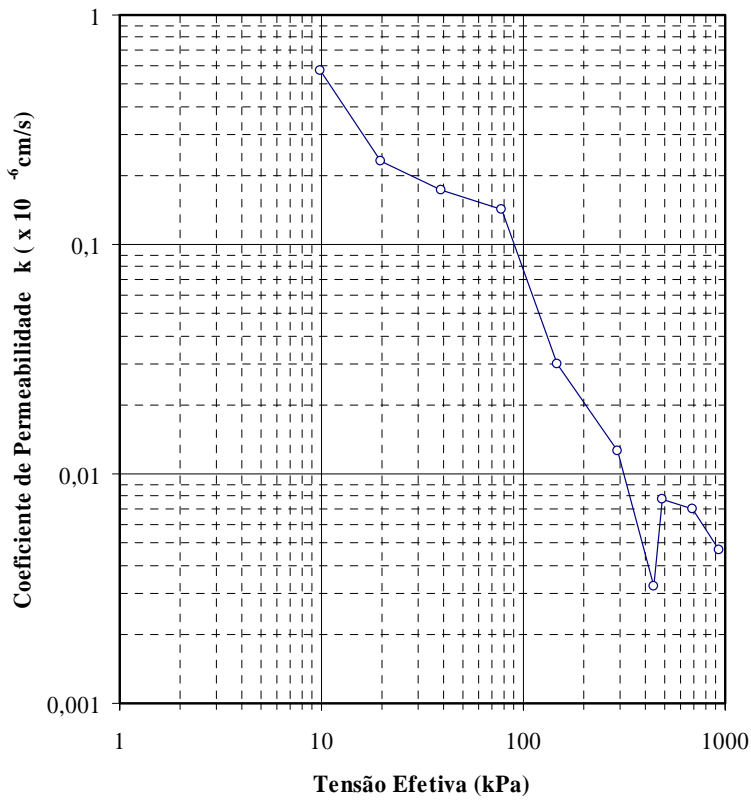


Figura A.III.12 – Curva $\sigma' \times k$ do ensaio AEI-2

Ensaio de Adensamento Edométrico com Medida de Compressão Secundária

Ensaio AEI-2
Prof.: 3,50 a 4,00m

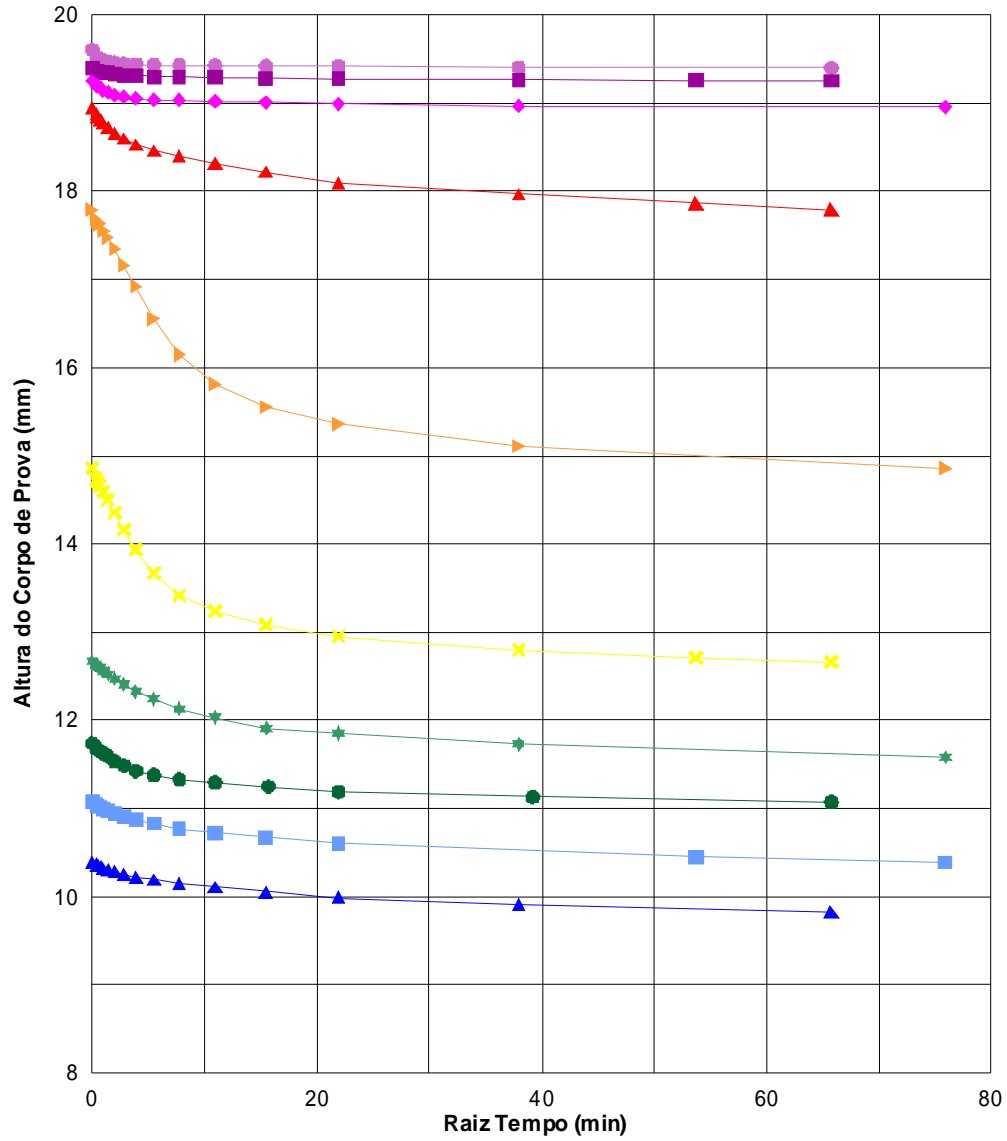
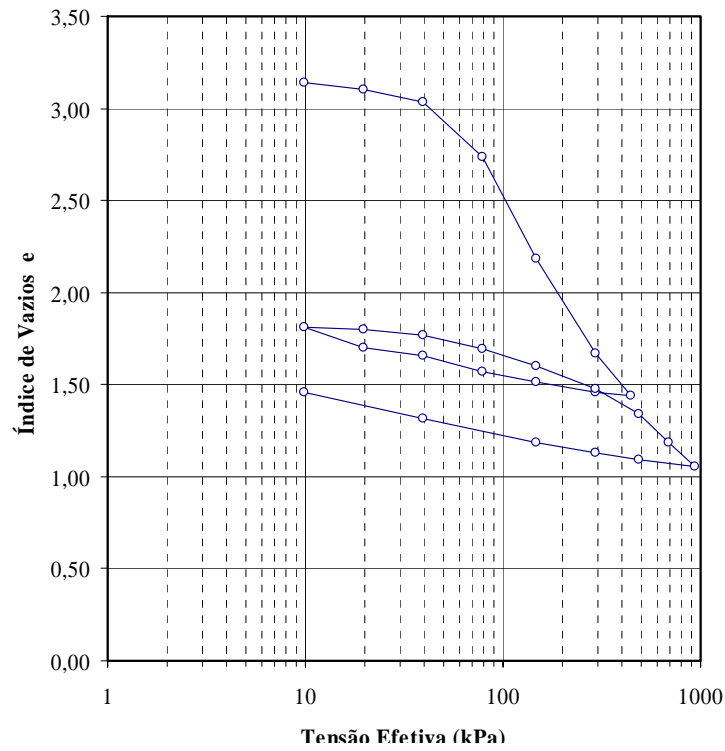
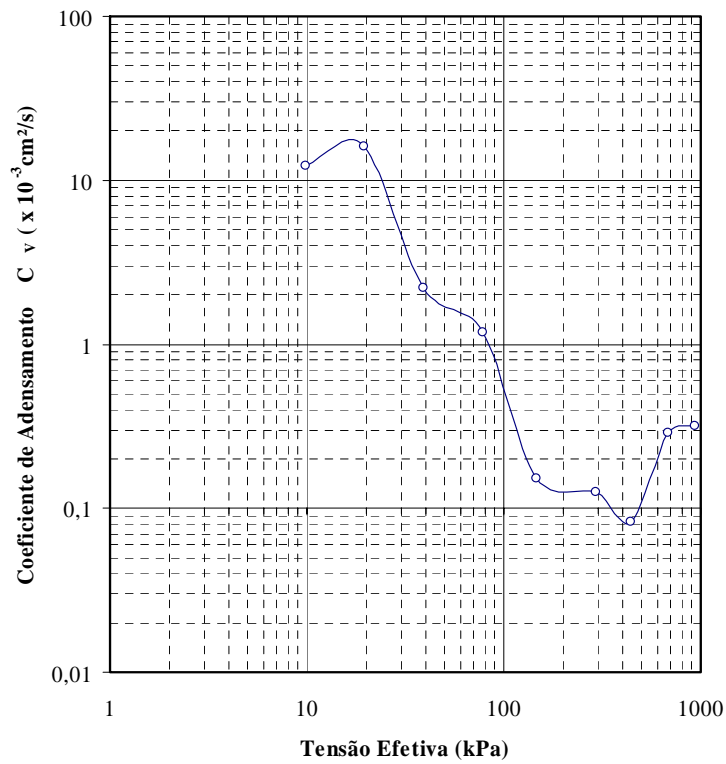
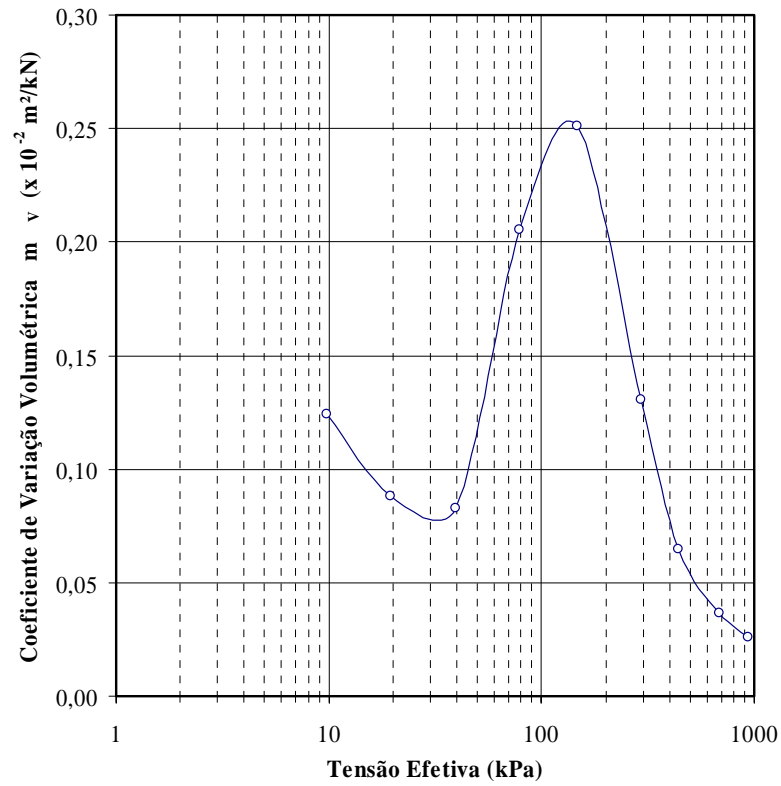
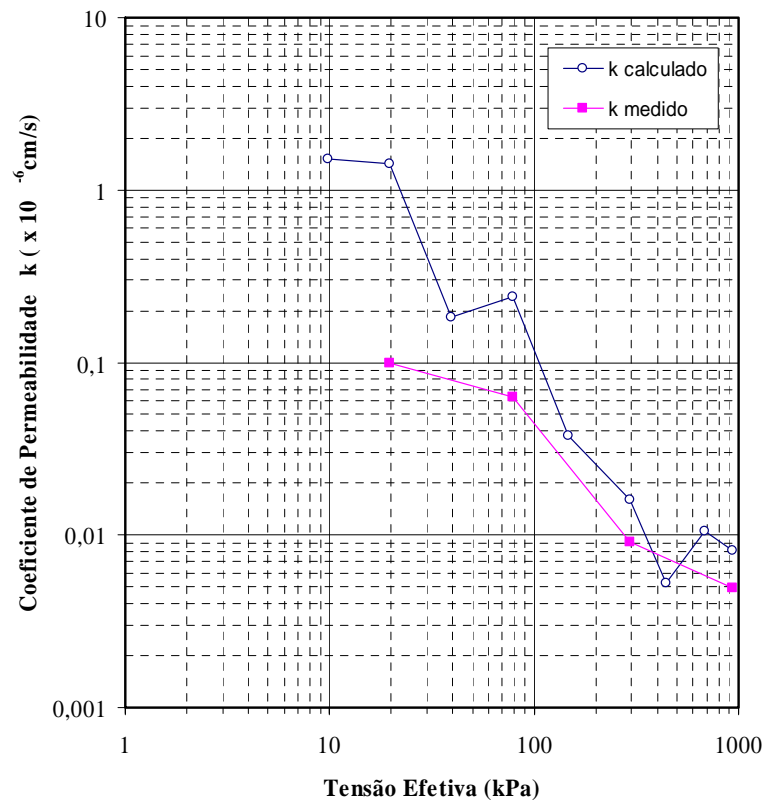


Figura A.III.13 – Curvas raiz tempo x altura do c.p. do ensaio AEI-2

c) Ensaio de Adensamento com Medida de Permeabilidade

i) Ensaio AEI-3

Figura A.III.14 - Curva σ' x e do ensaio AEI-3Figura A.III.15 - Curva σ' x c_v do ensaio AEI-3

Figura A.III.165 – Curva $\sigma' \times m_v$ do ensaio AEI-3Figura A.III.17 – Curva $\sigma' \times k$ do ensaio AEI-3

Ensaio de Adensamento Edométrico com Medida Permeabilidade

Ensaio AEI-3
Prof.: 3,50 a 4,00m

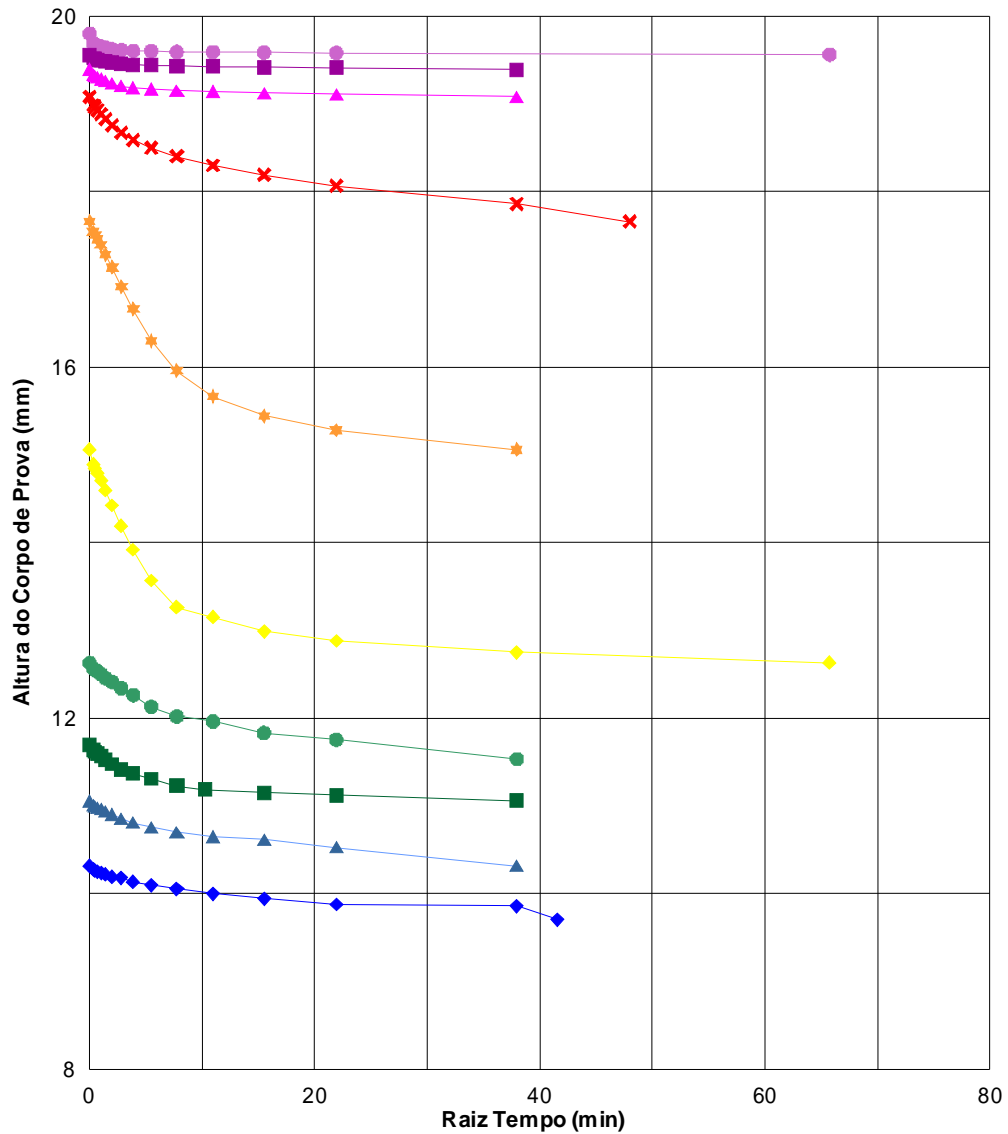
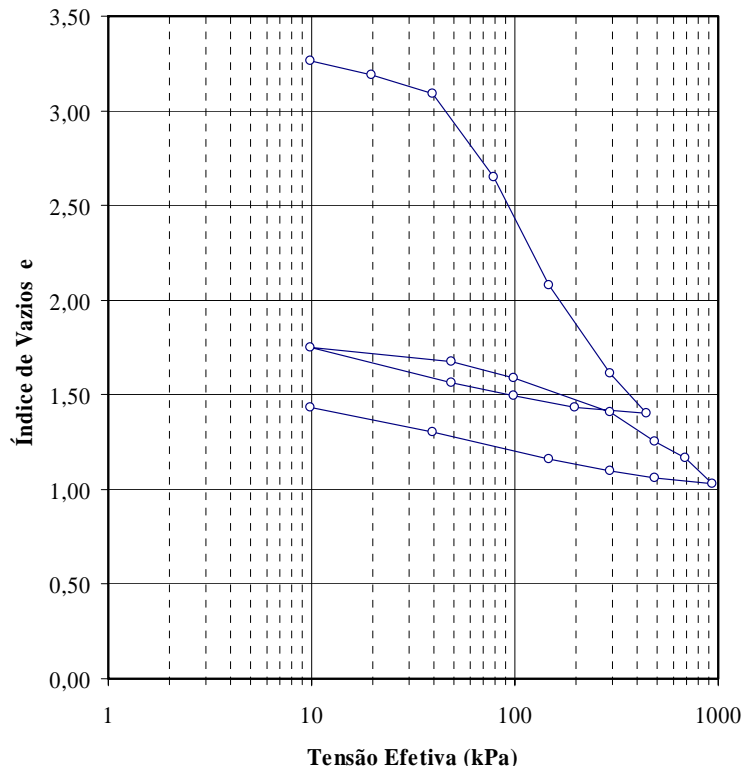
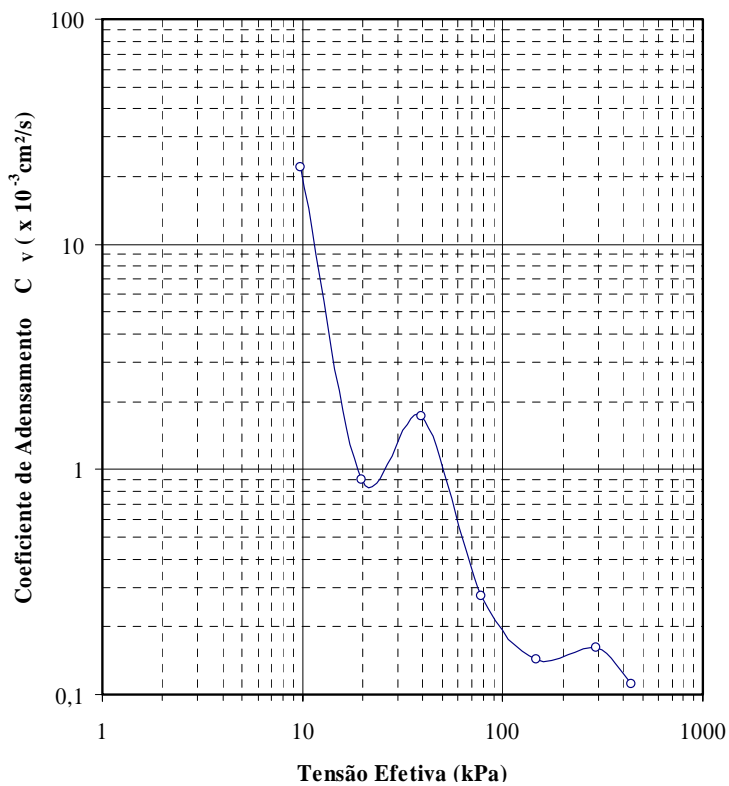


Figura A.III.18 – Curvas raiz tempo x altura do c.p. do ensaio AEI-3

ii) Ensaio AEI-4

Figura A.III.19 – Curva σ' x e do ensaio AEI-4Figura A.III.20 – Curva σ' x c_v do ensaio AEI-4

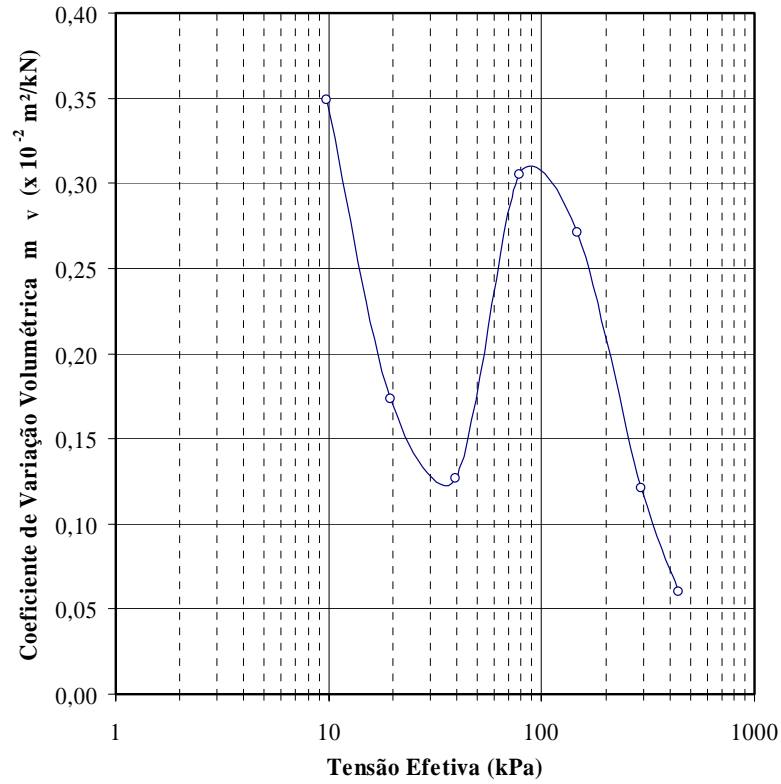


Figura A.III.21 – Curva $\sigma'_v \times m_v$ do ensaio AEI-4

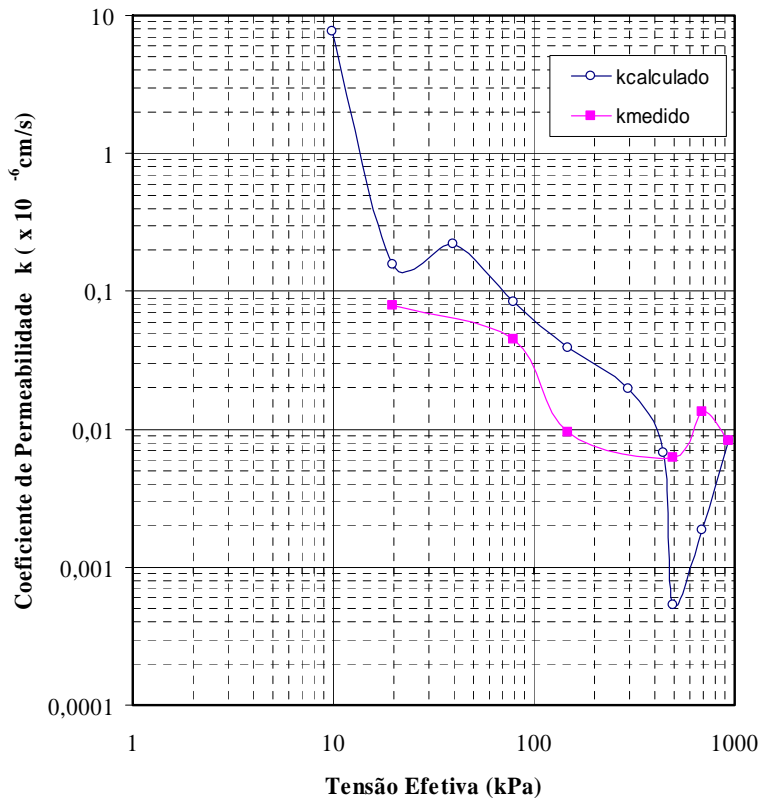


Figura A.III.22 – Curva $\sigma'_v \times k$ do ensaio AEI-4

Ensaio de Adensamento Edométrico com Medida Permeabilidade

Ensaio AEI-4
Prof.: 3,50 a 4,00m

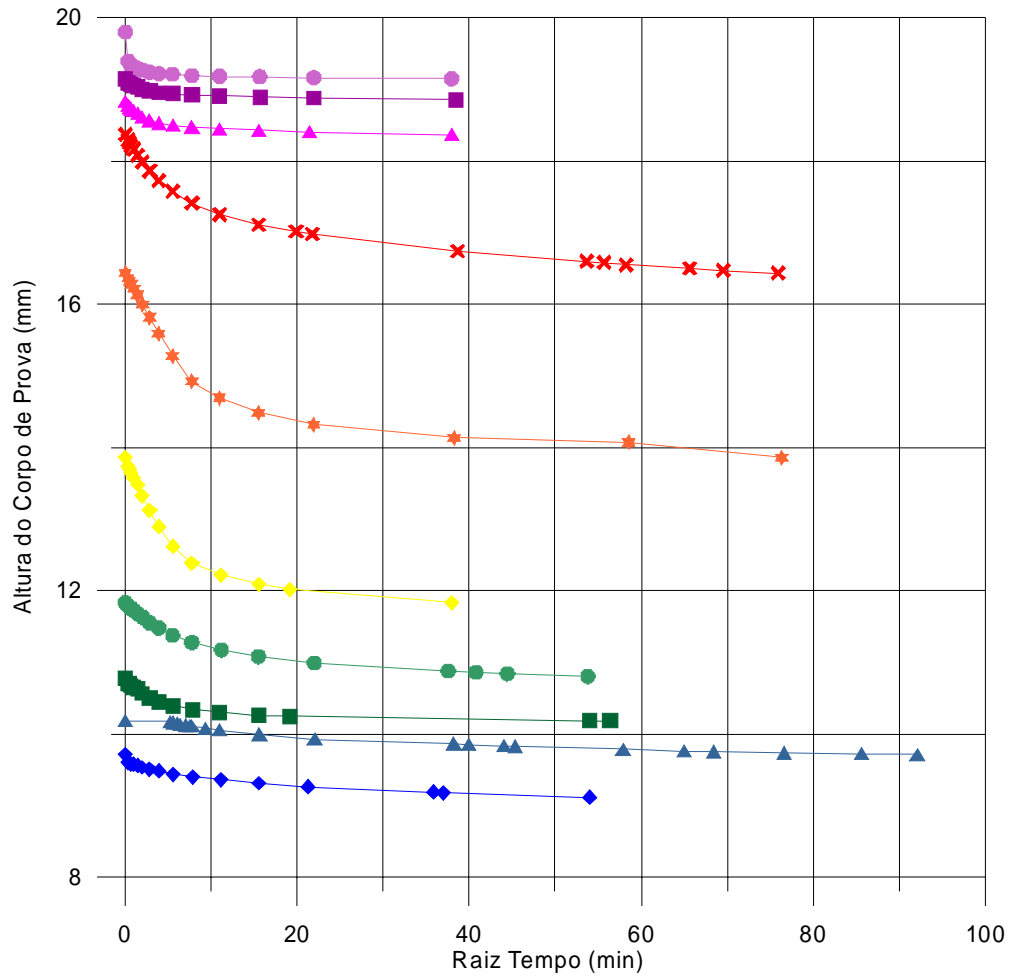


Figura A.III.23 - Curvas raiz tempo x altura do c.p. do ensaio AEI-4

ANEXO IV RESULTADOS INDIVIDUAIS DOS ENSAIOS DE ADENSAMENTO HIDROSTÁTICO

Neste Anexo estão apresentados os resultados individuais de cada um dos ensaios de adensamento hidrostático.

a) Ensaio AI-1

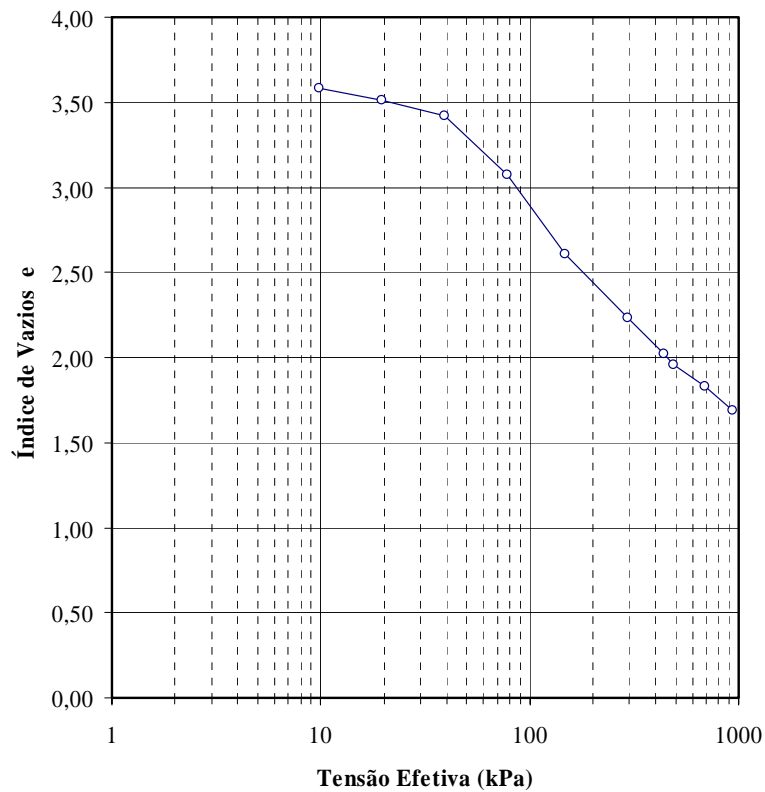


Figura A.IV.1 - Curva σ' x e do ensaio AI-1

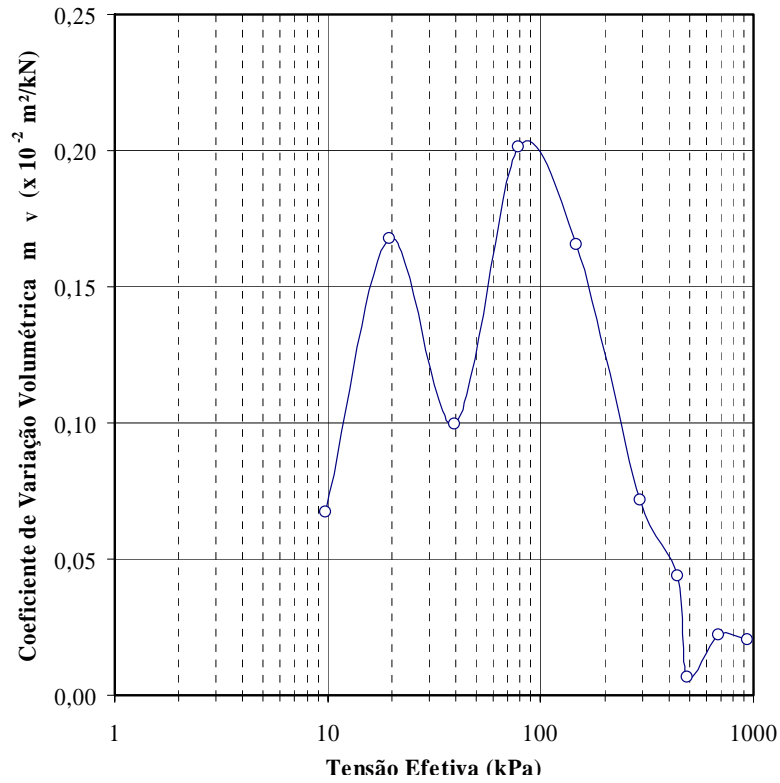


Figura A.IV.2 - Curva $\sigma' \times m_v$ do ensaio AI-1

b) Ensaio AI-2

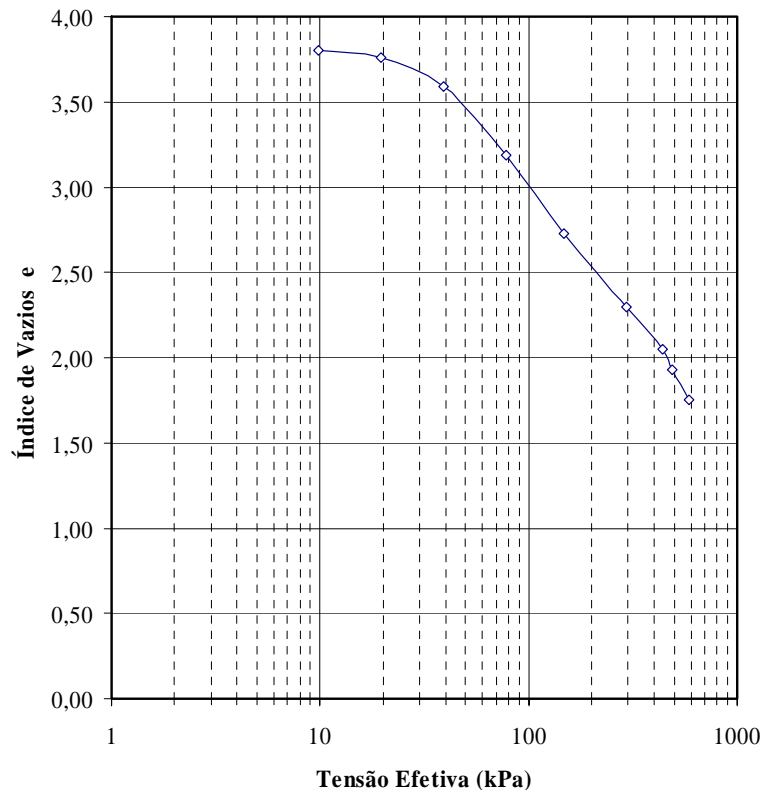


Figura A.IV.3 - Curva $\sigma' \times e$ do ensaio AI-2

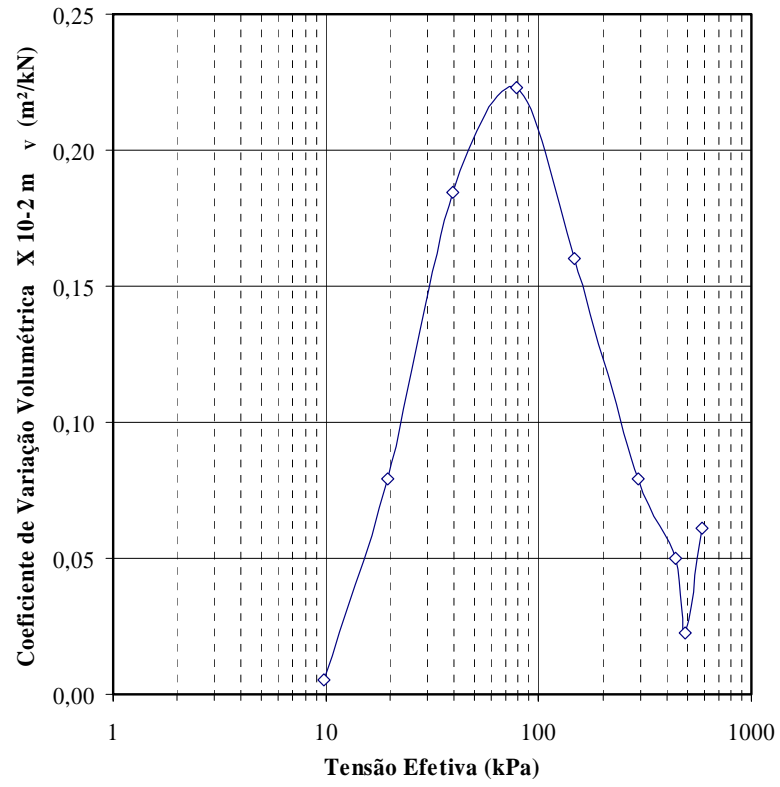


Figura A.IV.4 - Curva $\sigma' \times m_v$ do ensaio AI-2

ANEXO V RESULTADOS INDIVIDUAIS DOS ENSAIOS DE ADENSAMENTO ANISOTRÓPICO

Neste anexo serão apresentados os resultados individuais dos ensaios de adensamento anisotrópico.

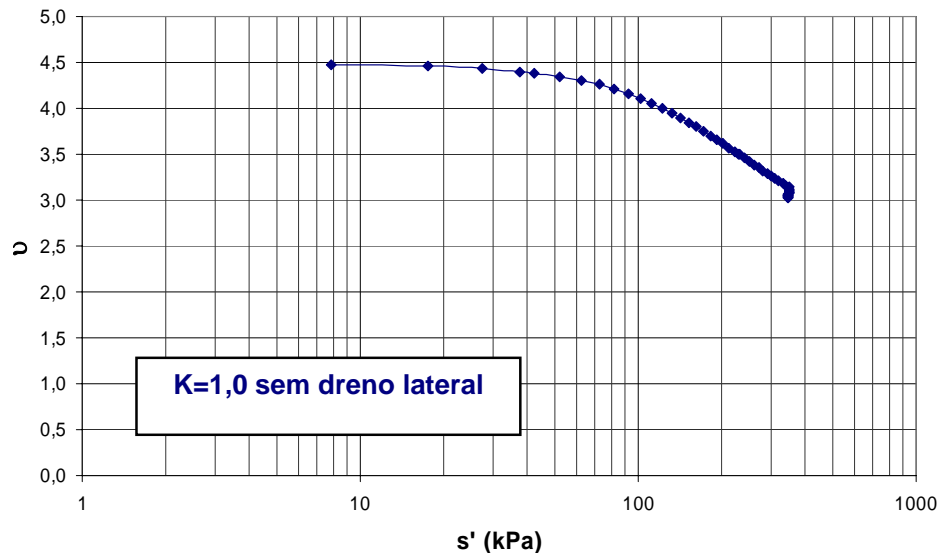


Figura A.V.1 – Curva $s' \times v$ para o ensaio $K=1,0$ sem dreno lateral

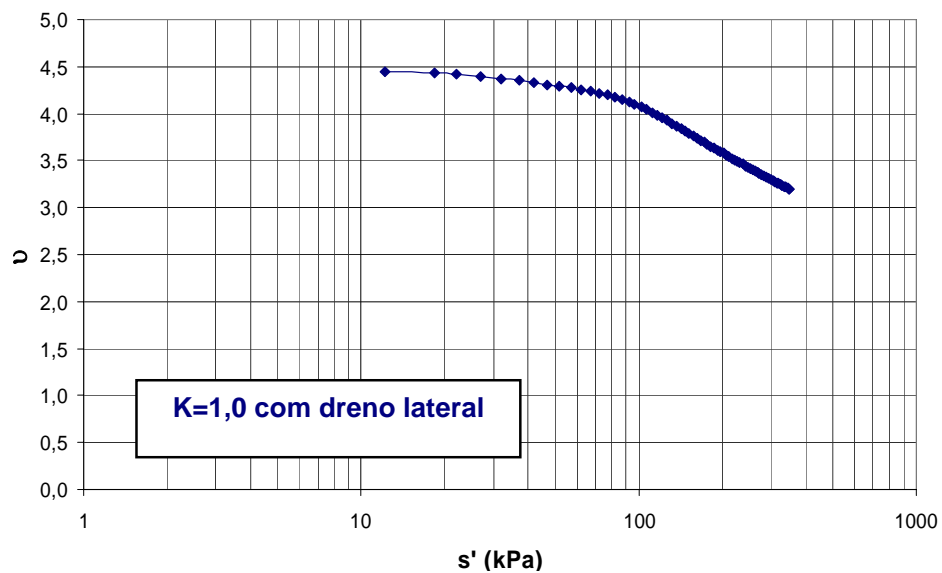


Figura A.V.2 - Curva $s' \times v$ para o ensaio $K=1,0$ com dreno lateral

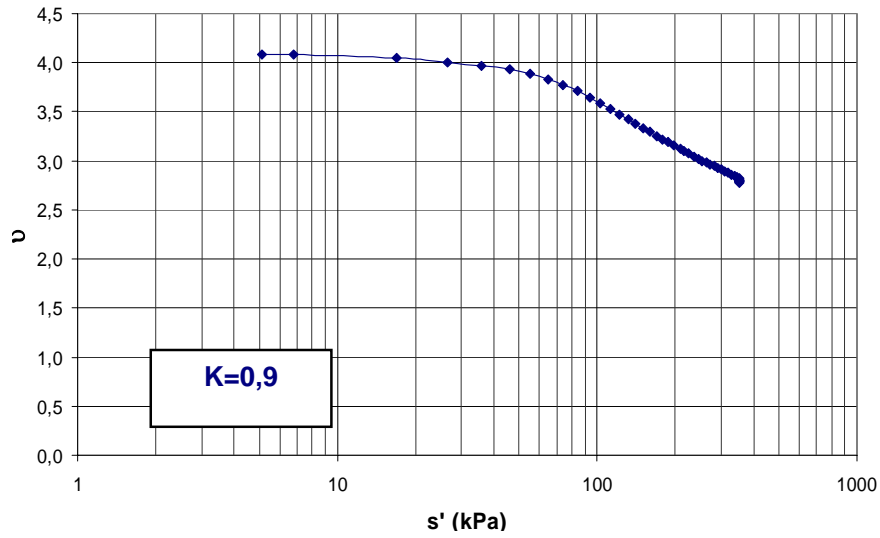


Figura A.V.3 - Curva $s' \times v$ para o ensaio $K=0,9$

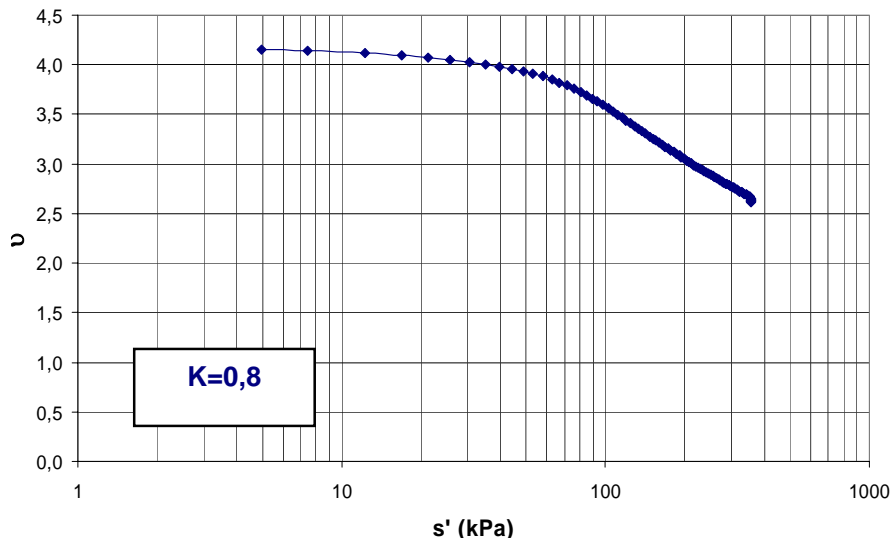


Figura A.V.4 – Curva $s' \times v$ para o ensaio $K=0,8$

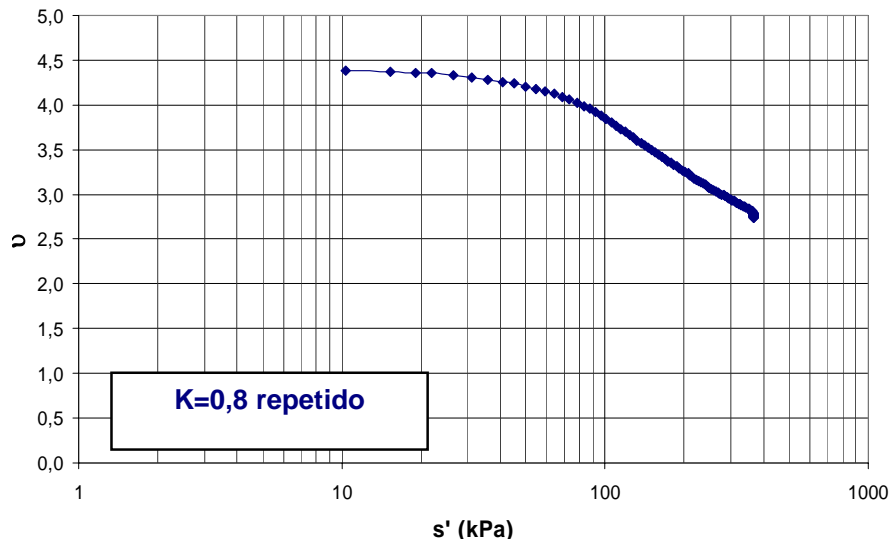


Figura A.V.5 – Curva $s' \times v$ para o ensaio $K=0,8$ repetido

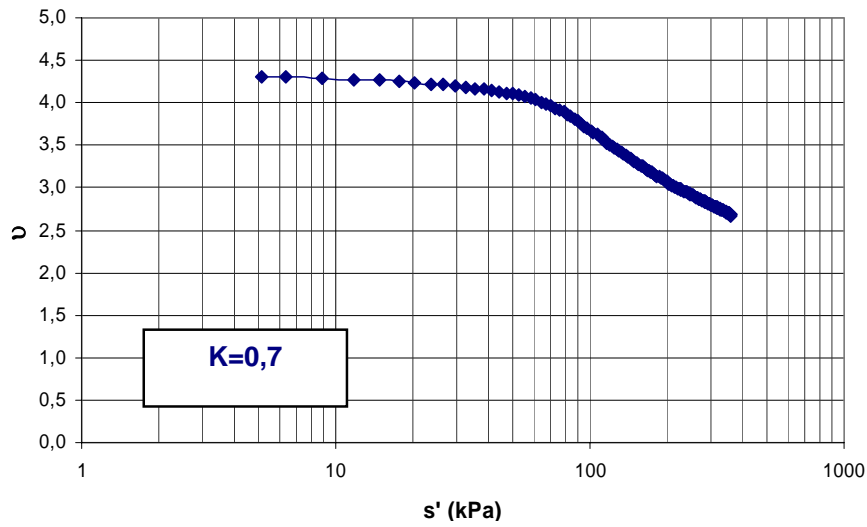


Figura A.V.6 - Curva $s' \times v$ para o ensaio $K=0,7$

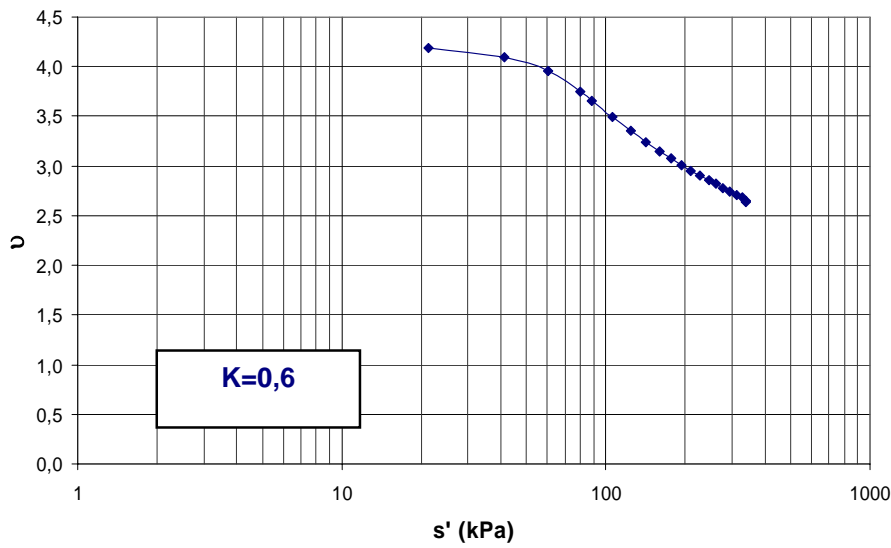


Figura A.V.7 - Curva $s' \times v$ para o ensaio $K=0,6$

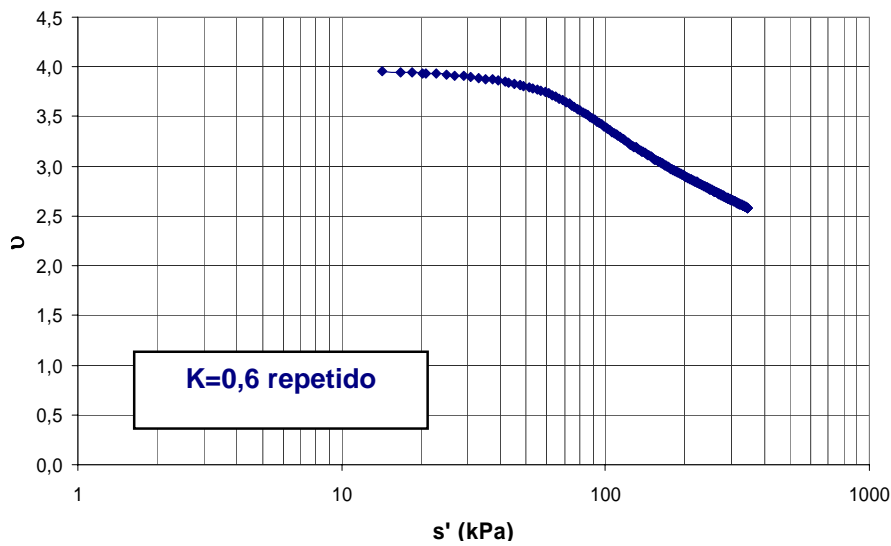


Figura A.V.8 - Curva $s' \times v$ para o ensaio $K=0,6$ repetido

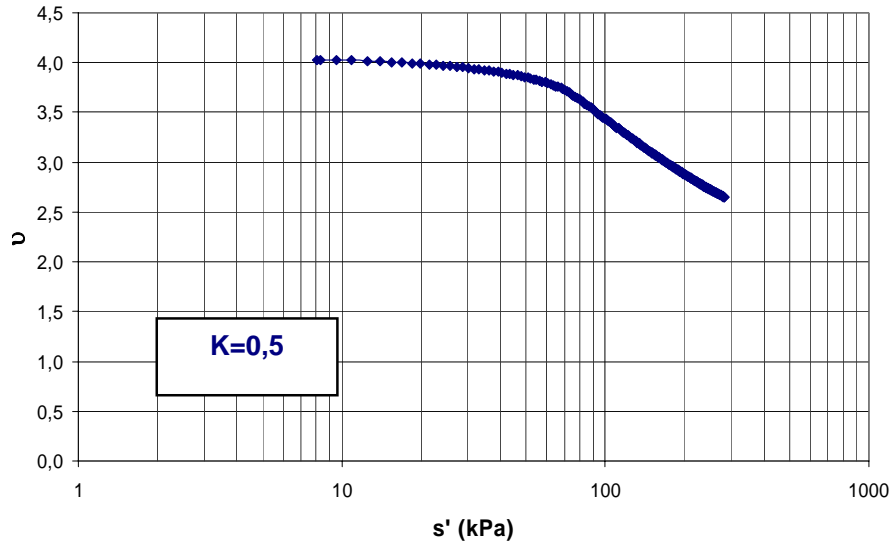


Figura A.V.9 - Curva $s' \times v$ para o ensaio $K=0,5$

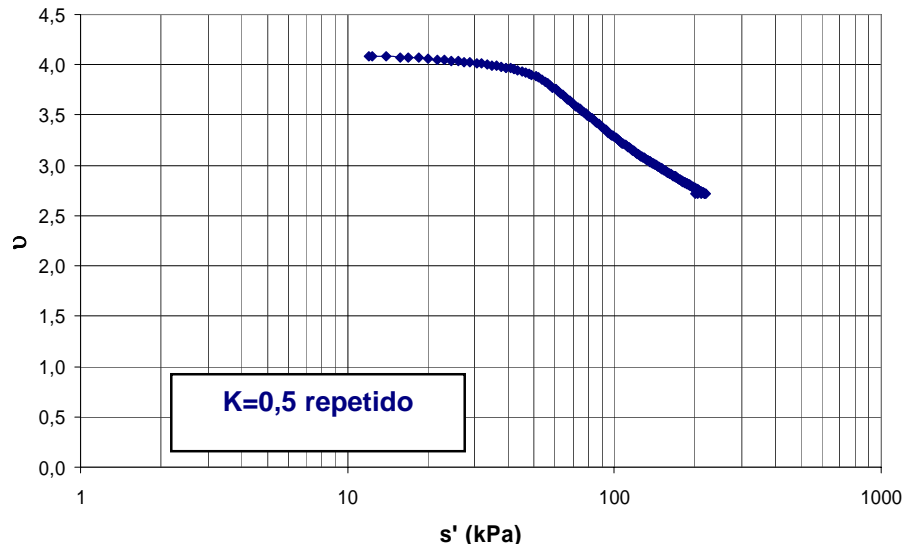


Figura A.V.10 - Curva $s' \times v$ para o ensaio $K=0,5$ repetido